

AICSサマースクール -最適化II-

2013年8月

独立行政法人理化学研究所
計算科学研究機構 運用技術部門
ソフトウェア技術チーム チームヘッド

南 一生
minami_kaz@riken.jp

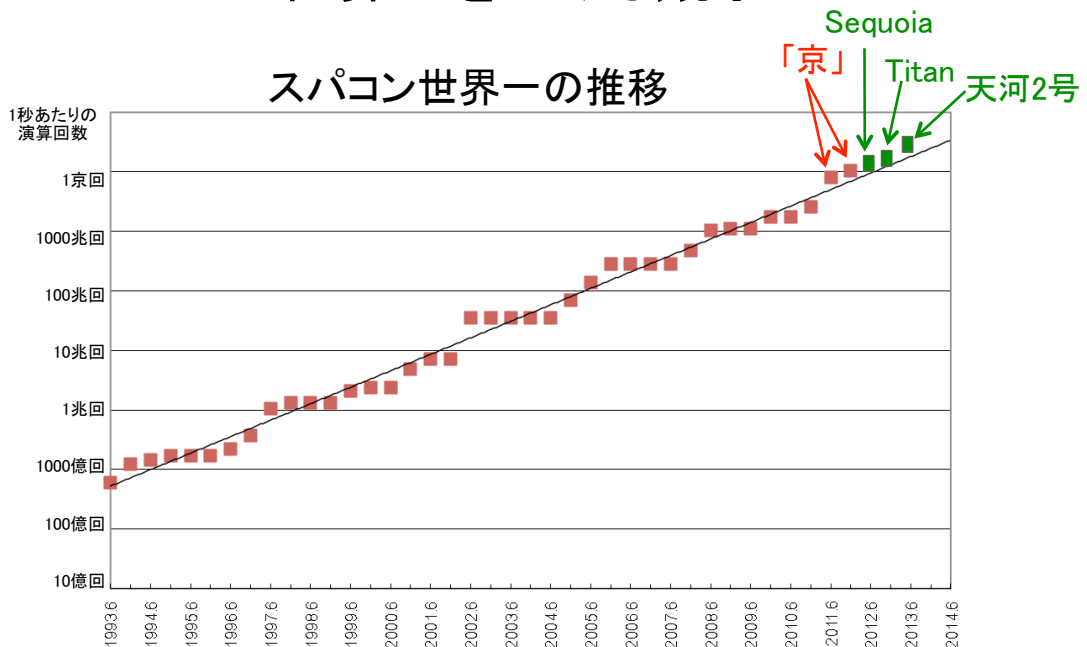


RIKEN Advanced Institute for Computational Science

1

AICS サマースクール 2013

スパコン世界一をめぐる競争



平均すると1年に約1.9倍の性能向上！

現在世界最速のスパコンは、世界初のスパコンCRAY-1(1976年)の
約2億1000万倍！



ちなみに

世界初のスパコンCRAY-1の演算性能は、約160メガフロップス
一方、iPhone4Sの演算性能は、約140メガフロップス



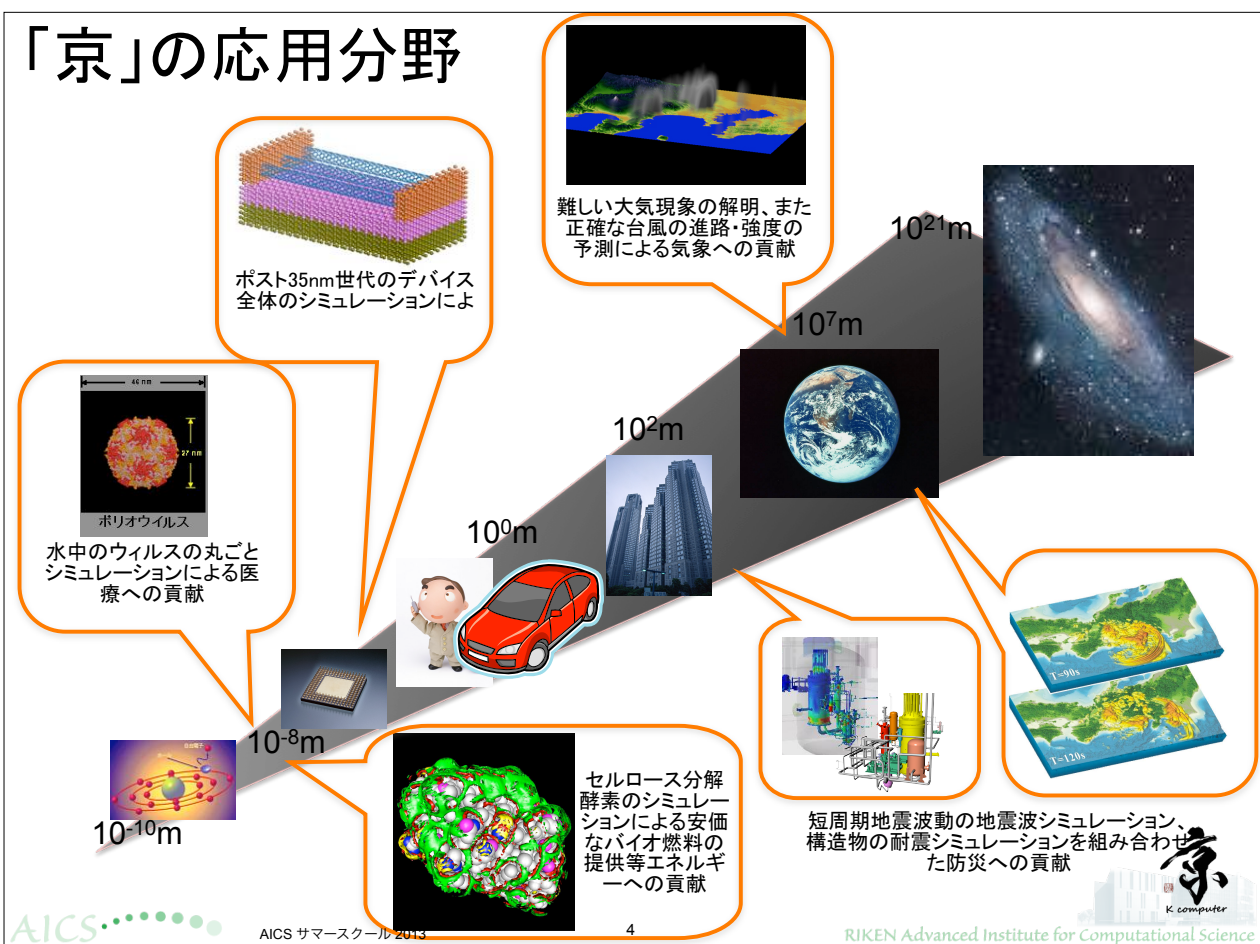
1976年



2011年

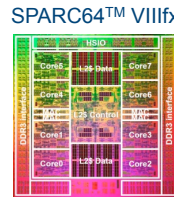


「京」の応用分野



プロセッサ構成

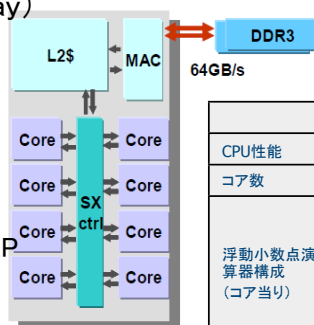
- ✓ 8コア構成、各コア256本の浮動小数点レジスタを備えたスーパースカラ方式
- ✓ SIMD拡張(積和演算器2個 x 2セット)
- ✓ コア当り16GFLOPS、CPU当り128GFLOPS



提供:富士通(株)

動作周波数: 2GHz
チップサイズ: 22.7mm x 22.6mm
トランジスタ数: 760 Mトランジスタ
消費電力: 58W(水冷, 30°C時)

- ✓ コア共有の2次キャッシュ(6MB, 12way)



- ✓ データ供給能力

- ✓ レジスタ-L1キャッシュ間: 4B/FLOP
- ✓ L1キャッシュ-L2キャッシュ間: 2B/FLOP
- ✓ L2キャッシュ-主記憶間: 0.5B/FLOP

	仕様
CPU性能	128GFLOPS(16GFLOPSx8コア)
コア数	8個
浮動小数点演算器構成 (コア当り)	積和演算器: 2x2個 (SIMD) (逆数近似命令: SIMD動作) 除算器: 2個 比較器: 2個
	浮動小数点レジスタ(64ビット): 256本 グローバルレジスタ(64ビット): 188本
キャッシュ構成	1次命令キャッシュ: 32KB(2way) 1次データキャッシュ: 32KB(2way) 2次キャッシュ: 6MB(12way)コア間共有
メモリバンド幅	64GB/s(0.5B/F)

より詳細な情報は、「SPARC64™ VLIIfx Extensions」を参照のこと

<http://img.jp.fujitsu.com/downloads/jp/jhpc/sparc64vliifx-extensions.pdf>

AICS

AICS サマースクール 2013

5

RIKEN Advanced Institute for Computational Science



計算ノードとインターネット構成

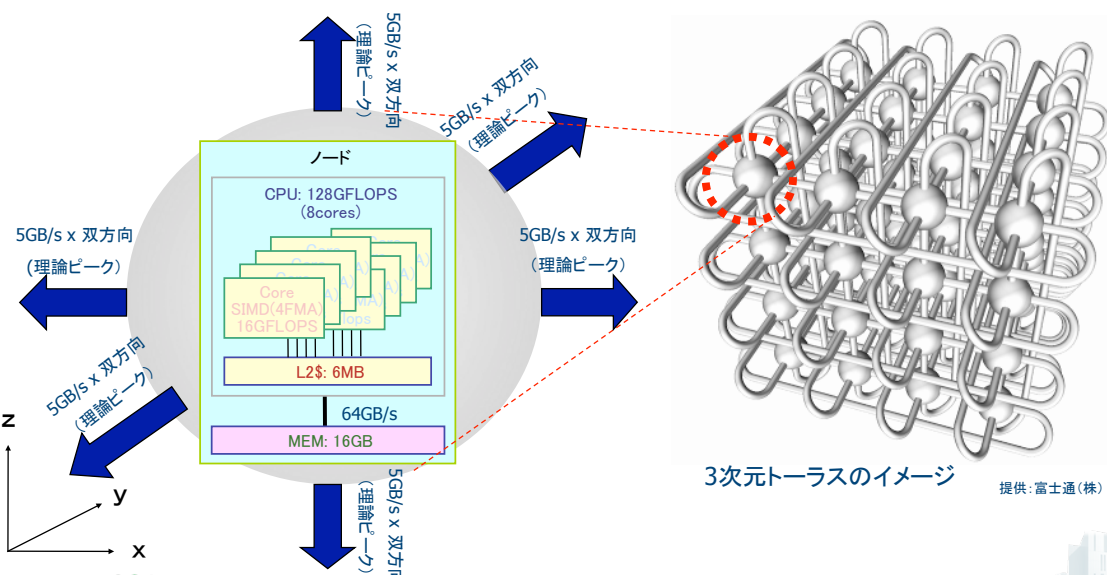
■ 計算ノードの構成

- CPU(8コア)
- ICC(インターネット用LSI)
- メモリ

: 1個
: 1個
: 16GB

■ インターネット構成

- ユーザービューは3次元トーラス
- 帯域: 3次元の正負各方向にそれぞれ 5GB/s x 2(双方向)【理論ピーク】
- ケーブル: 約200,000本, 約1000km



AICS

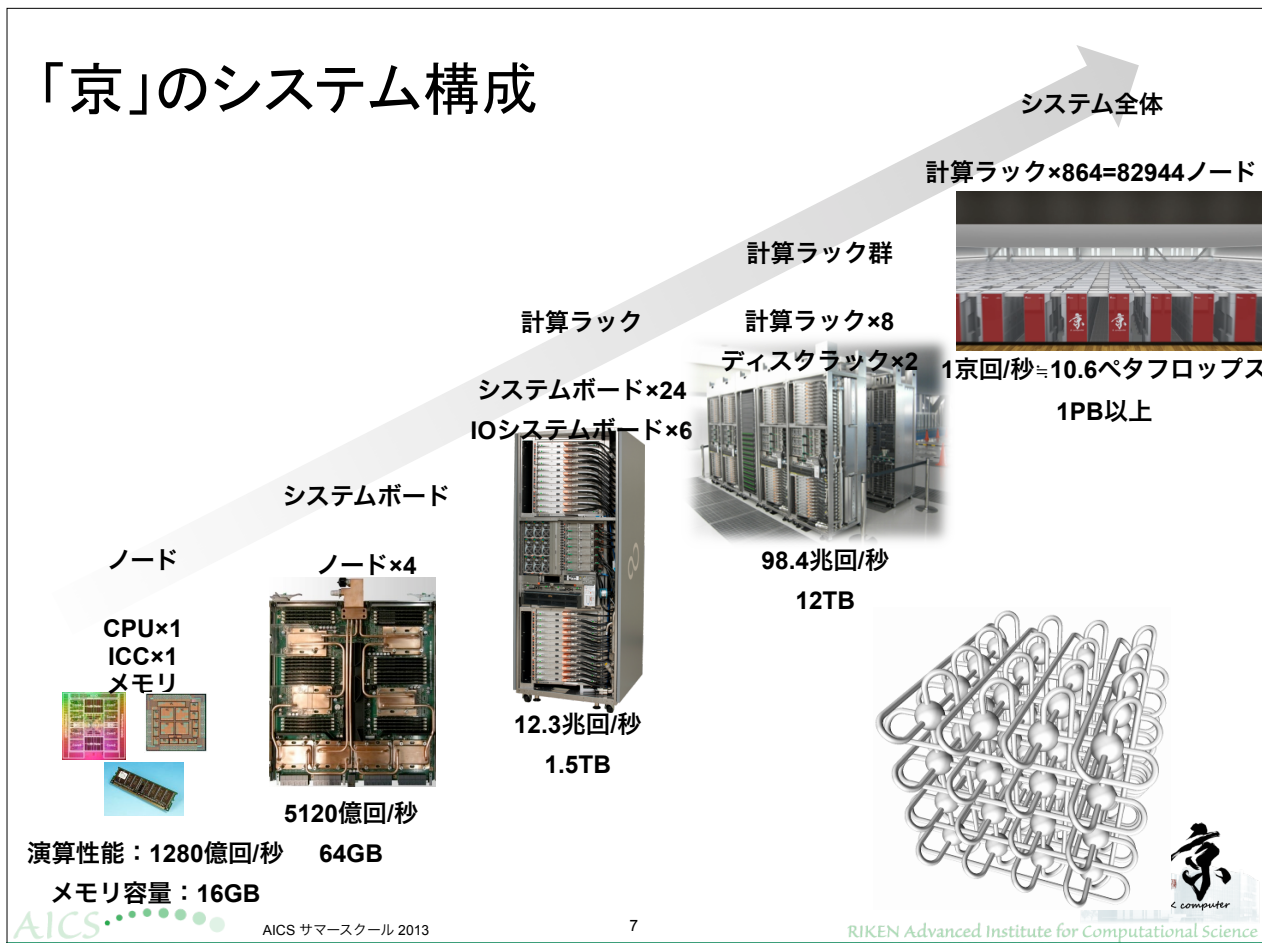
AICS サマースクール 2013

6

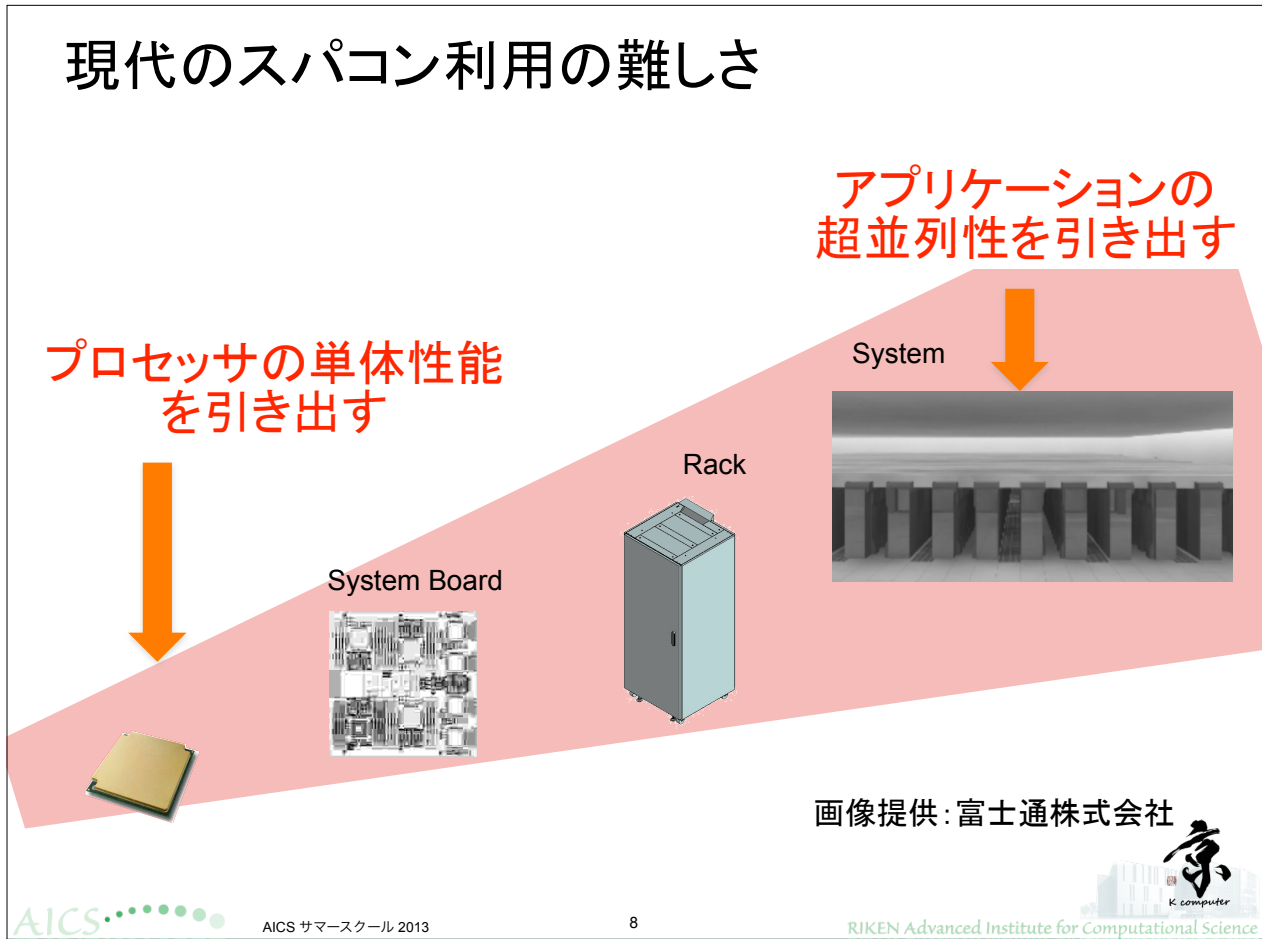
RIKEN Advanced Institute for Computational Science



「京」のシステム構成



現代のスパコン利用の難しさ



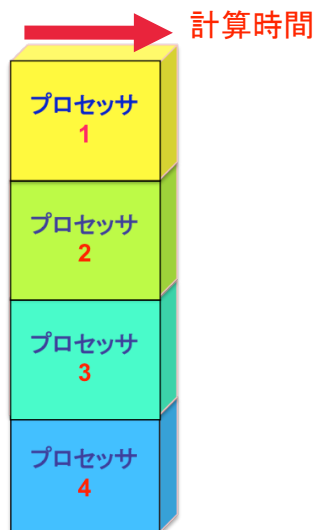
高並列化のための重要点



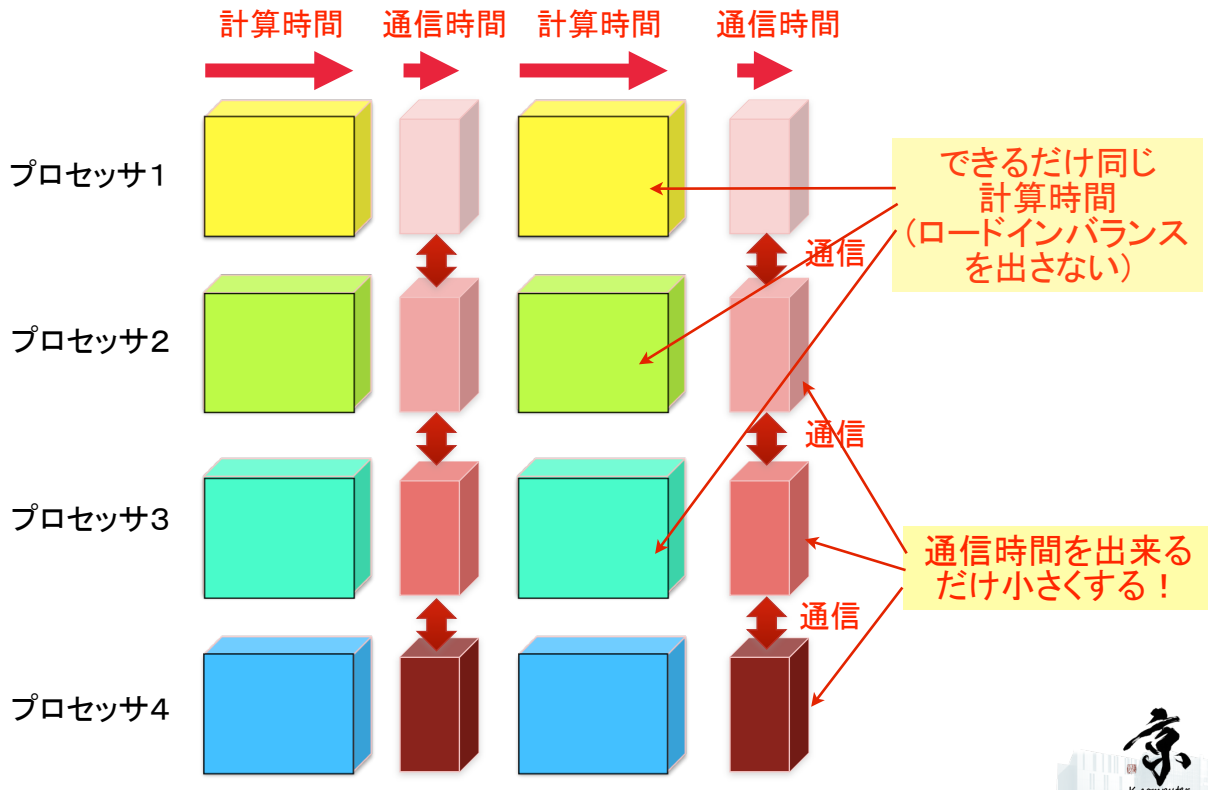
逐次計算



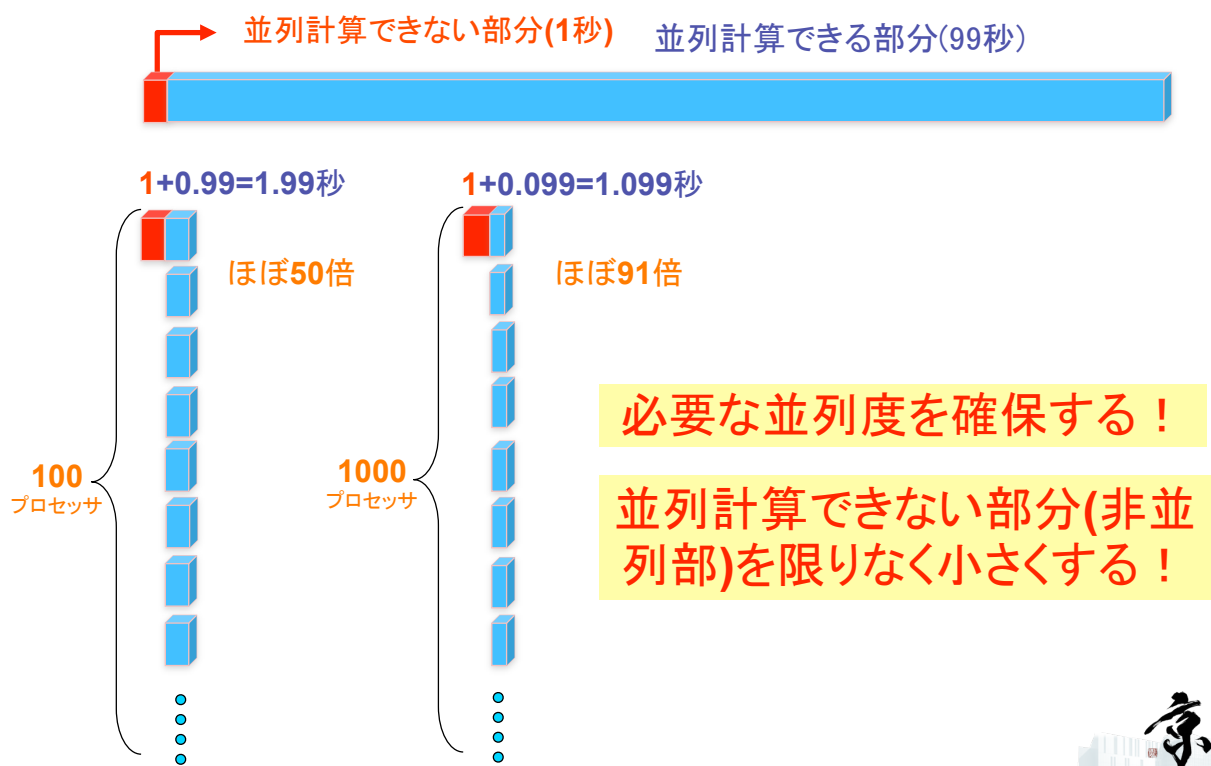
並列計算



そもそも並列化とは？(2)



そもそも並列化とは？(3)

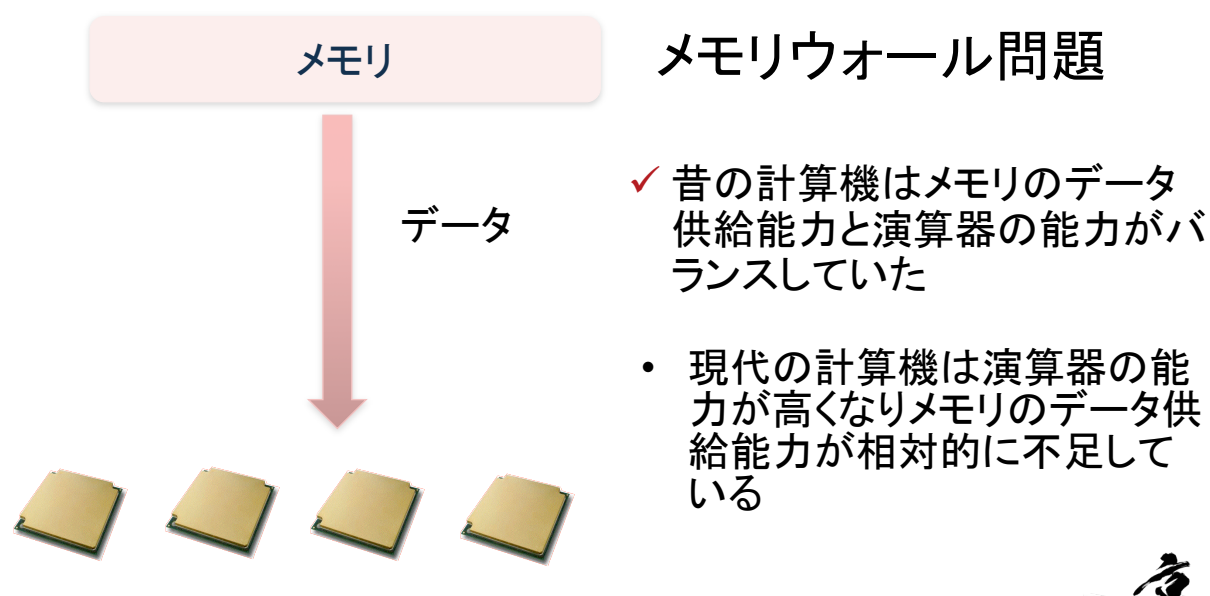


単体性能向上のための重要点



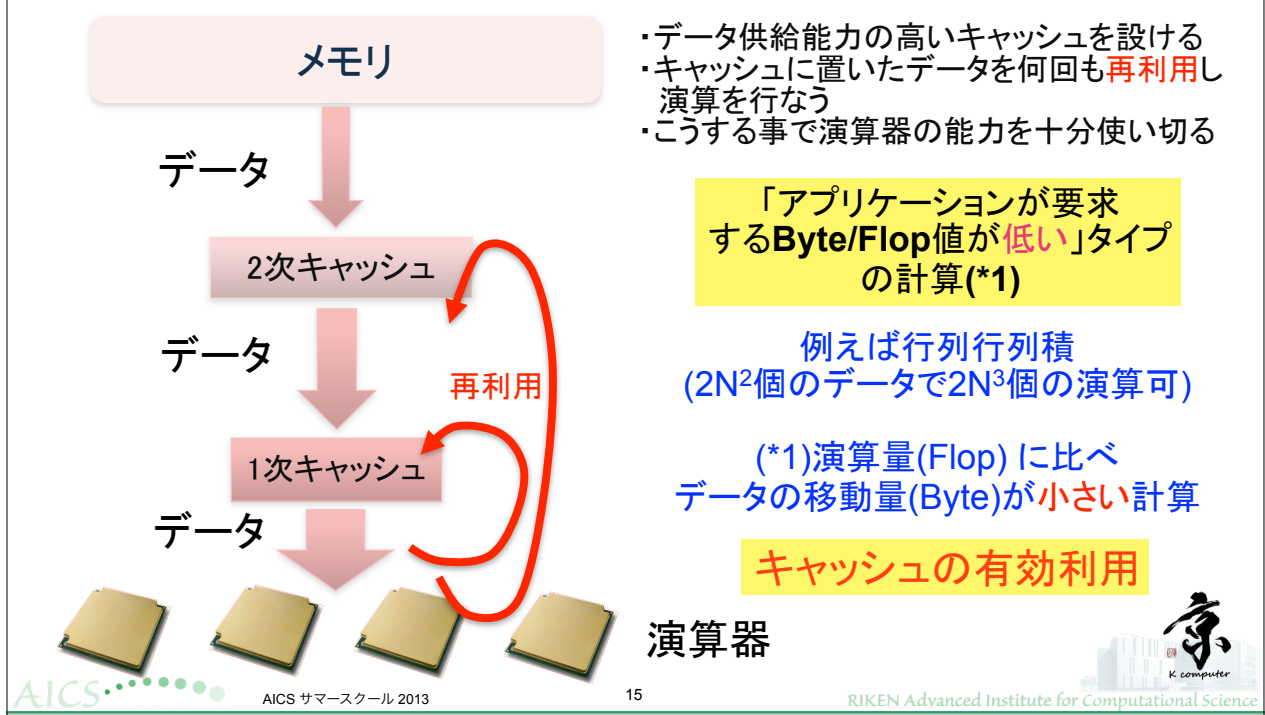
プロセッサの単体性能を引き出す(1)

- かつては研究者やプログラマーは物理モデル式に忠実に素直にプログラミングすることが一般的であった



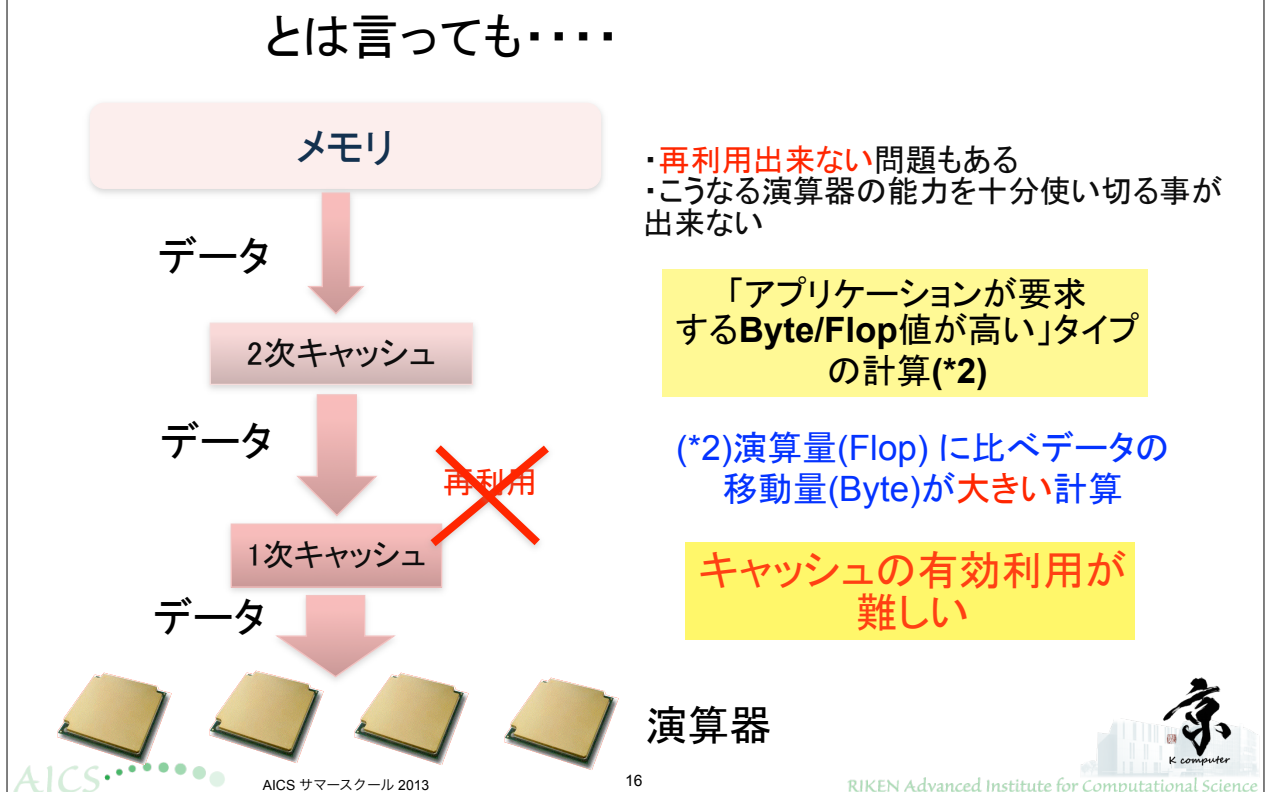
プロセッサの単体性能を引き出す(2)

メモリウォール問題への対処



プロセッサの単体性能を引き出す(3)

とは言っても……



理研で進めたアプリケーション の高性能化



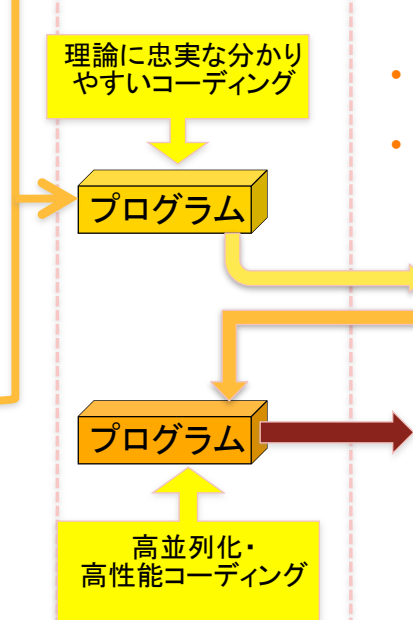
計算科学



計算機科学

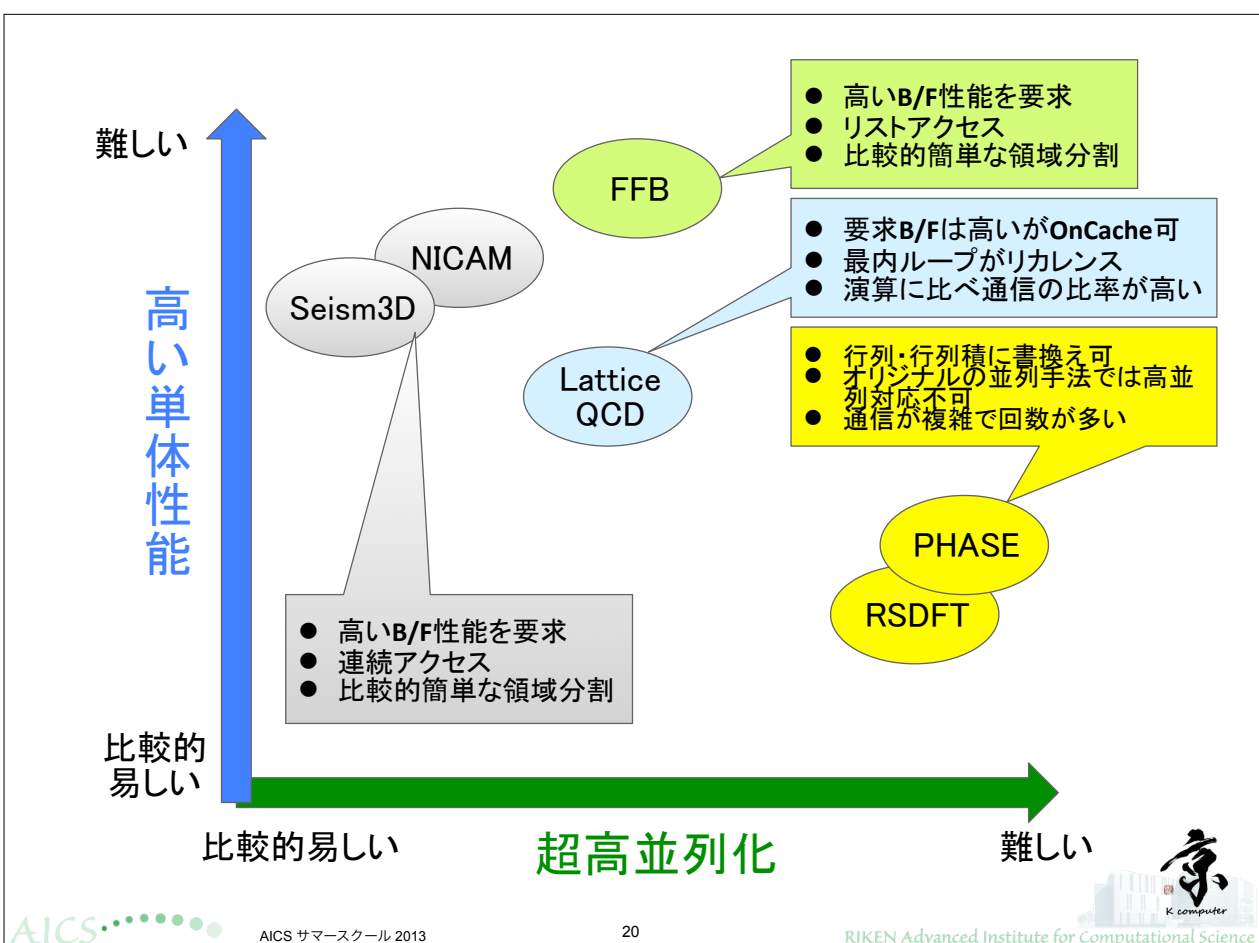
仕事の内容

- アプリケーションの超並列性を引き出す
- プロセッサの単体性能を引き出す



対象アプリケーション

プログラム名	分野	アプリケーション概要	期待される成果	手法
NICAM	地球科学	全球雲解像大気大循環モデル	大気大循環のエンジンとなる熱帶積雲対流活動を精緻に表現することでシミュレーションを飛躍的に進化させ、現時点では再現が難しい大気現象の解明が可能となる。	FDM(大気)
Seism3D	地球科学	地震波伝播・強震動シミュレーション	既存の計算機では不可能な短い周期の地震波動の解析・予測が可能となり、木造建築およびコンクリート構造物の耐震評価などに応用できる。	FDM(波動)
PHASE	ナノ	平面波展開第一原理電子状態解析	第一原理計算により、ポスト35nm世代ナノデバイス、非シリコン系デバイスの探索を行う。	平面波DFT
FrontFlow/Blue	工学	Large Eddy Simulation (LES)に基づく非定常流体解析	LES解析により、エンジニアリング上重要な乱流境界層の挙動予測を含めた高精度な流れの予測が実現できる。	FEM(流体)
RSDFT	ナノ	実空間第一原理電子状態解析	大規模第一原理計算により、10nm以下の基本ナノ素子(量子細線、分子、電極、ゲート、基盤など)の特性解析およびデバイス開発を行う。	実空間DFT
LatticeQCD	物理	格子QCDシミュレーションによる素粒子・原子核研究	モンテカルロ法およびCG法により、物質と宇宙の起源を解明する。	QCD



ここから

■理研で進めたアプリケーションを例題に

- 高並列化手法について説明
- 単体性能向上手法について説明



アプリケーションを高並列にするためには どうしたら良いか

- ✓ 十分な並列度を得る並列化手法を採用する
- ✓ 非並列部分を最小化する
- ✓ 通信時間を最小化する
- ✓ ロードインバランスを出さない

最初に

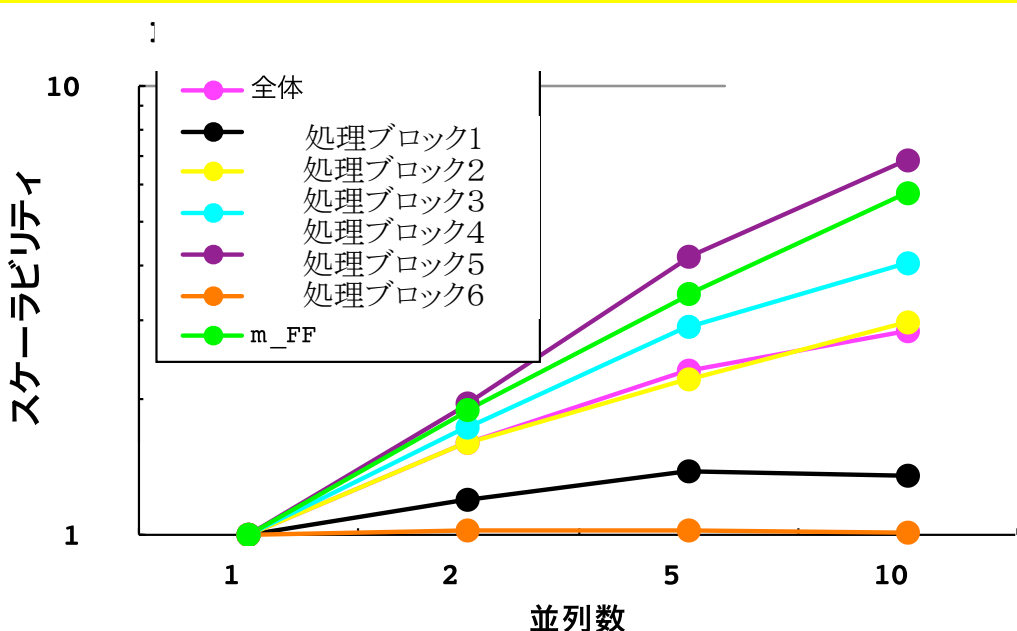
アプリケーションの高並列阻害する要因を洗い
出す事(並列特性分析)が重要



並列特性分析



ブロック毎の実行時間とスケーラビリティ評価(例)
→ 従来の評価はサブルーチン毎・関数毎等の評価が多い
→ サブルーチン・関数は色々な場所で呼ばれるため正しい評価ができない



超高並列を目指した場合の留意点-ブロック毎に以下を評価する

- 非並列部が残っていないか？残っている場合に問題ないか？
- 隣接通信時間が超高並列時にどれくらいの割合を占めるか？
- 大域通信時間が超高並列時にどれくらい増大するか？
- ロードインバランスが超高並列時に悪化しないか？

→ これらの評価が重要

ストロングスケーリング：

全体の問題規模を一定にして並列数を増やし測定する方法

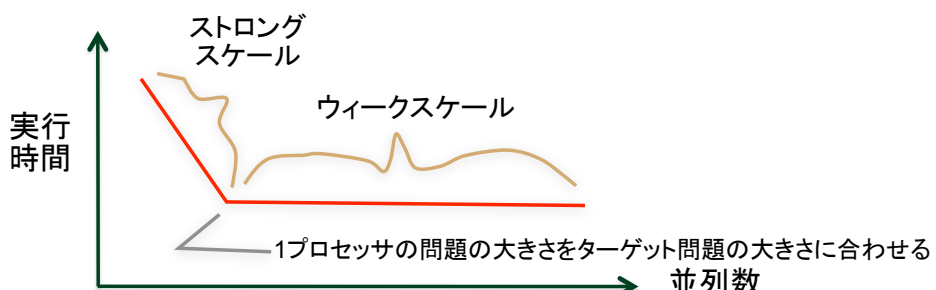
弱いスケーリング：

1プロセッサで実行する問題規模を一定にし並列数を増やし測定する方法



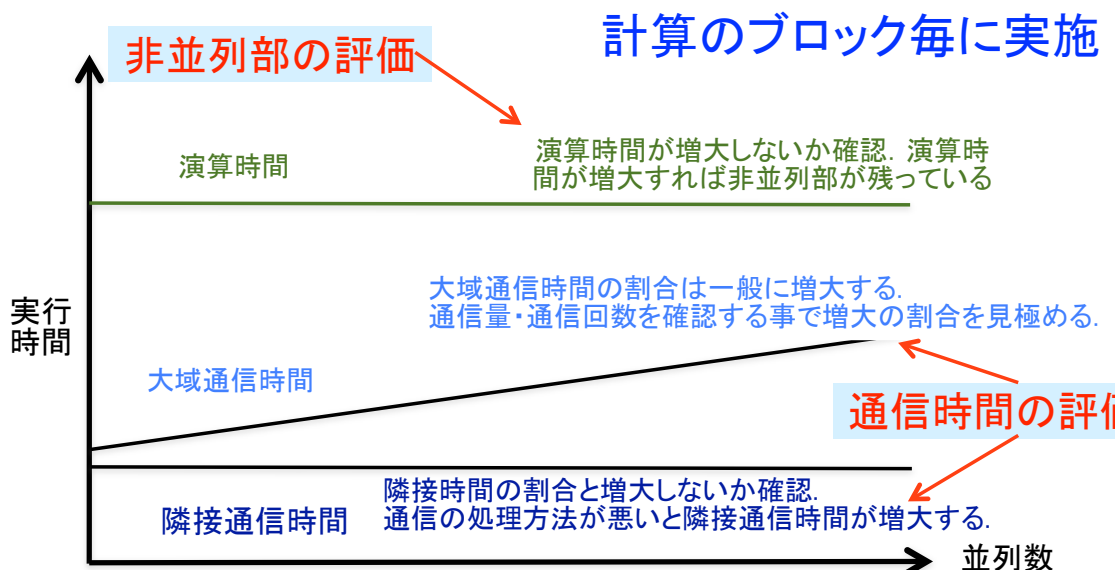
そのために

- ターゲット問題を決める
- 1プロセッサの問題規模がターゲット問題と同程度となるまでは、ストロングスケーリングで実行時間・ロードインバランス・隣接通信時間・大域通信時間を測定・評価する(100から数百並列まで)
- 上記の測定・評価で問題が有れば解決する
- 問題なければ並列度を上げて弱いスケーリングで大規模並列の挙動を測定する

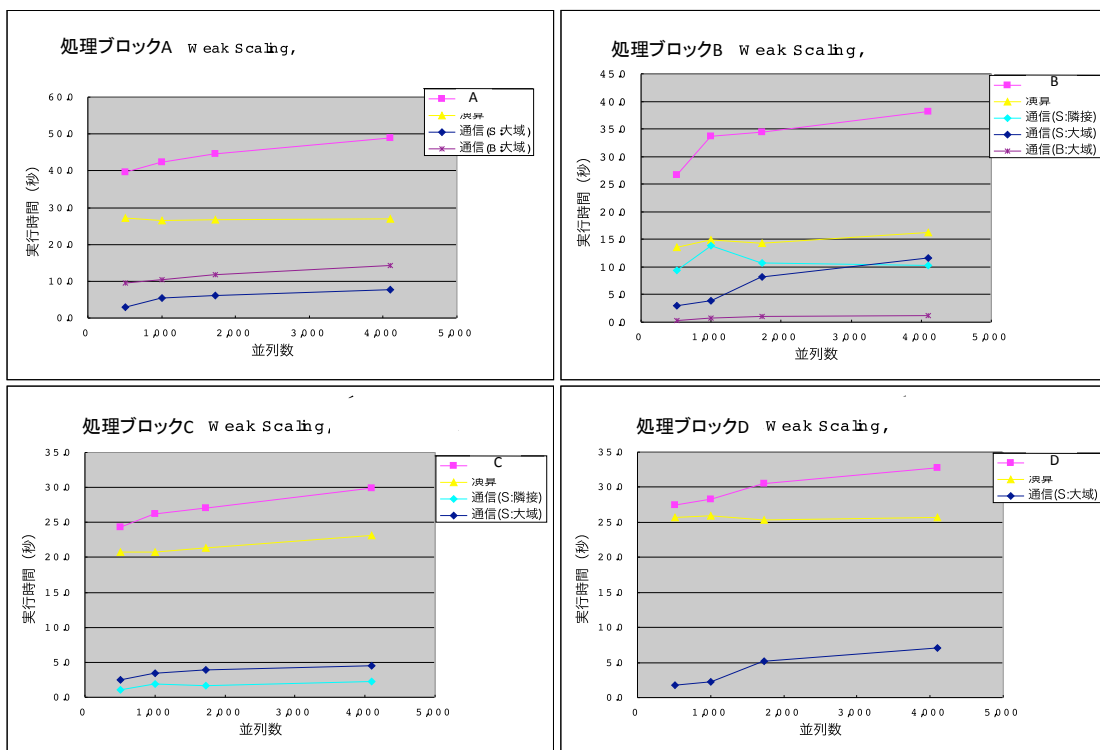


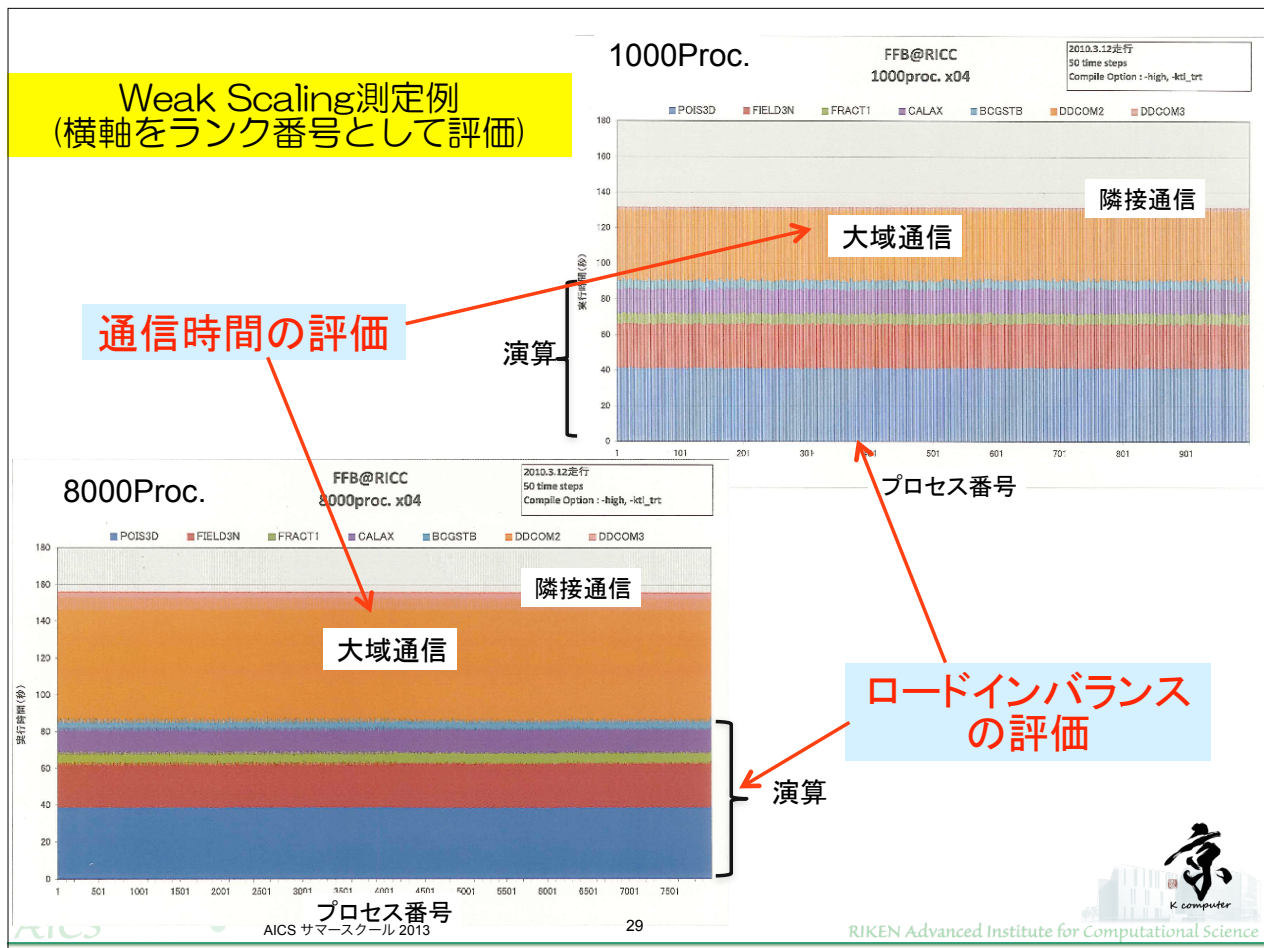
弱スケーリング評価

- 現状使用可能な実行環境を使用し100程度/1000程度/数千程度と段階を追つてできるだけ高い並列度で並列性能を確認する(弱スケーリング測定)。
- 弱スケーリングが難しいものもあるが出来るだけ測定したい。難しい場合は、演算時間をモデル化して実測とモデルとの一致を評価する。



Weak Scaling測定例





十分な並列数の確保

■ RSDFT/PHASEの例

対象とする系(分子・固体)に含まれる電子の数だけの波動関数 ϕ を求める
電子状態(バンド構造, 電荷密度, 状態密度)がわかる
密度汎関数法(DFT: Density Functional Theory)に基づき Kohn-Sham 方程式を解く

Kohn-Sham 方程式 (H: ハミルトニアン r: 座標 n: エネルギーバンド k: 波数)

$$[-\frac{1}{2}\nabla^2 + V_{LOC}[\rho(\phi)](r) + V_{non-LOC}] \phi_n(r) = \epsilon_n \phi_n(r)$$

$H\phi_n(r) = \epsilon_n \phi_n(r)$: RSDFT

$H\phi_n(k) = \epsilon_n \phi_n(k)$: PHASE

オリジナルの並列軸

拡張した並列軸

並列軸の拡張

非並列部分最小化

■ PHASEの例

波数に関する並列軸の拡張で並列化

プログラム分析により非並列部分が見つかる

```
subroutine m_es_vnonlocal_w(ik, iksnl, ispin, switch_of_eko_part)
    +-call tstatic0_begin
    loop_ntyp: do it = 1, ntyp
        loop_natm : do ia = 1, natm
            +-call calc_phase
                T-do lmt2 = 1, ilmt(it)
                +-call vnonlocal_w_part_sum_over_lmt1
                    +-call add_vnlph_1_without_eko_part
                        subroutine add_vnlph_1_without_eko_part()
                            T-if(kimg == 1) then
                                T-do ib = 1, np_e -----エネルギー並列部
                                    T-do i = 1, Iba(ik)
                                    V-end do
                                    V-end do
                            +-else
                                T-do ib = 1, np_e -----エネルギー並列部
                                    T-do i = 1, Iba(ik)
                                    V-end do
                                    V-end do
                            V-end if
                        end subroutine add_vnlph_1_without_eko_part
                    V-end do
                V-end do loop_natm
            V-end do loop_ntyp
end subroutine m_es_vnonlocal_w
```

オリジナルの並列部



通信時間最小化

■ RSDFTの例

RSDFTの計算手順

1. 波動関数 Φ の初期値を与える
2. CG法により、波動関数 ϕ を更新する
3. 波動関数 Φ を規格直交化（グラムーシュミット）する
4. 局所ポテンシャル V_{LOC} を更新する。更新前後で変化が無ければ計算終了
5. ハミルトニアンを更新
6. 部分対角化（MB×MB空間で）を行い、1.に戻る



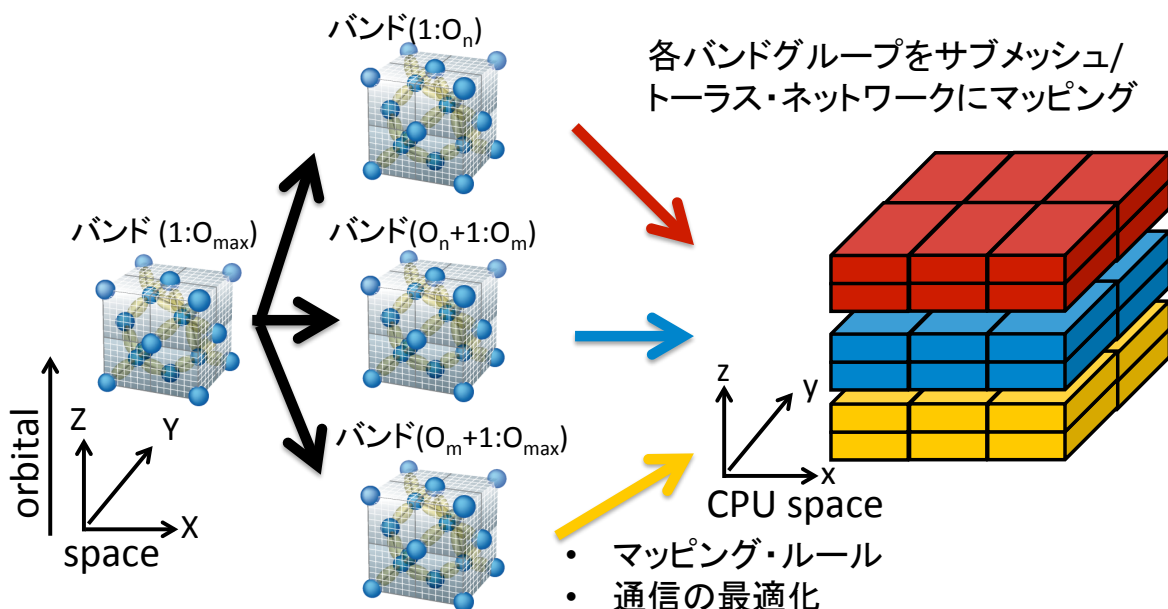
通信時間最小化

■ RSDFTの例

空間並列

空間並列+バンド並列

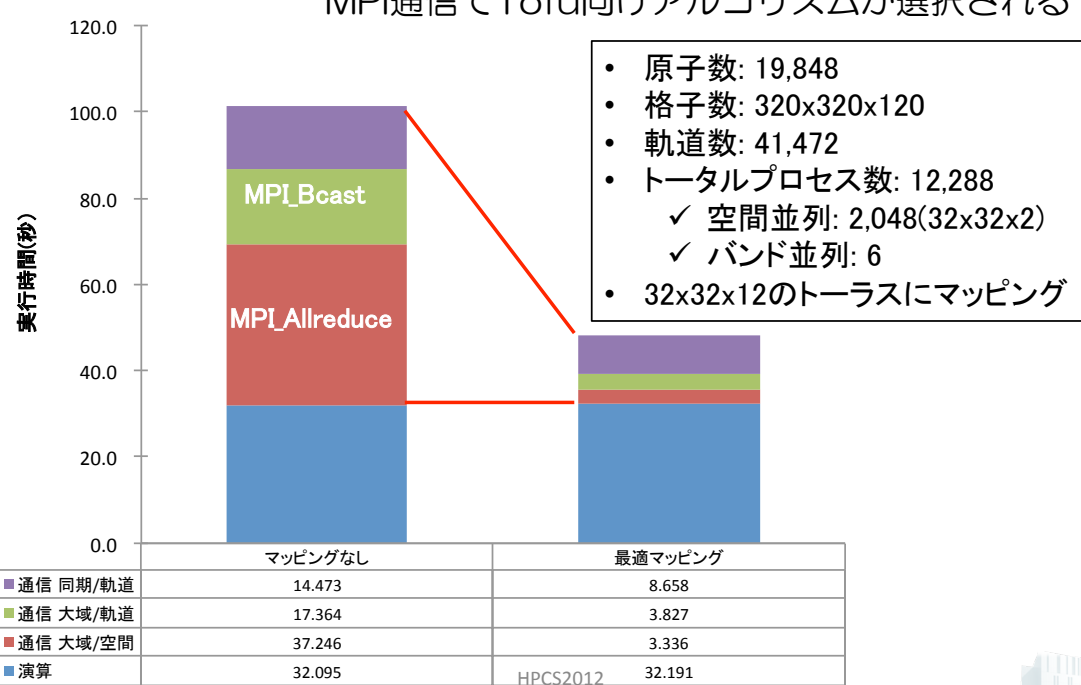
Tofuネットワークへのマッピング



サブメッシュ/トーラス内で通信が閉じられる

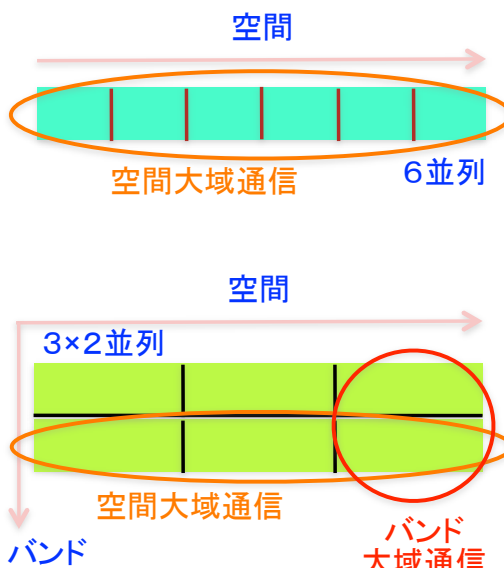
最適マッピングの効果- Gram-Schmidt -

最適マッピング → サブコミュニケーション間のコンフリクトが発生しない
MPI通信でTofu向けアルゴリズムが選択される



2軸並列の結果大域通信時間が減少

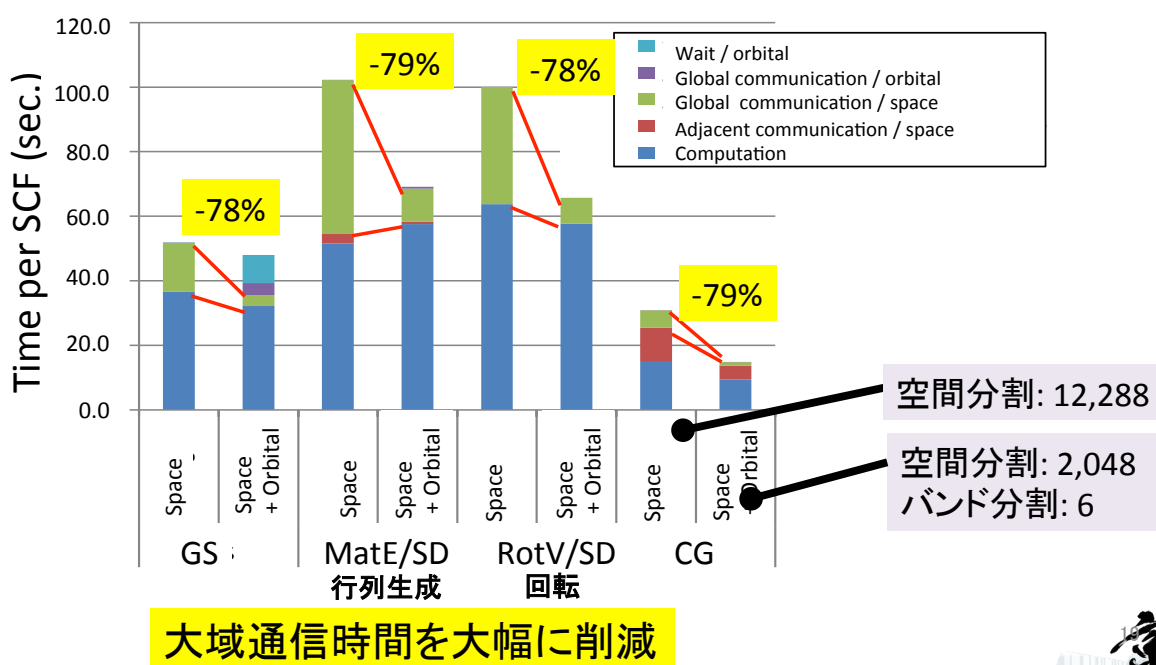
- ✓ 空間並列から空間+エネルギー バンド並列(2軸並列)へ書換
- ✓ 並列軸を増やすことで10万並列レベルに対応可能となった
- ✓ 空間並列のみの場合は全プロセッサ間の大域通信が必要
- ✓ 通信時間の増大を招く
- ✓ 2軸並列への書換で空間に対する大域通信が一部のプロセッサ間での通信とできる
- ✓ バンドに対する大域通信も同様
- ✓ 大域通信の効率化が実現



その効果

SiNW, 19,848 原子, 格子数:320x320x120, バンド数:41,472

トータル並列プロセス数は12,288で固定



ここからCPU単体性能を上げる話

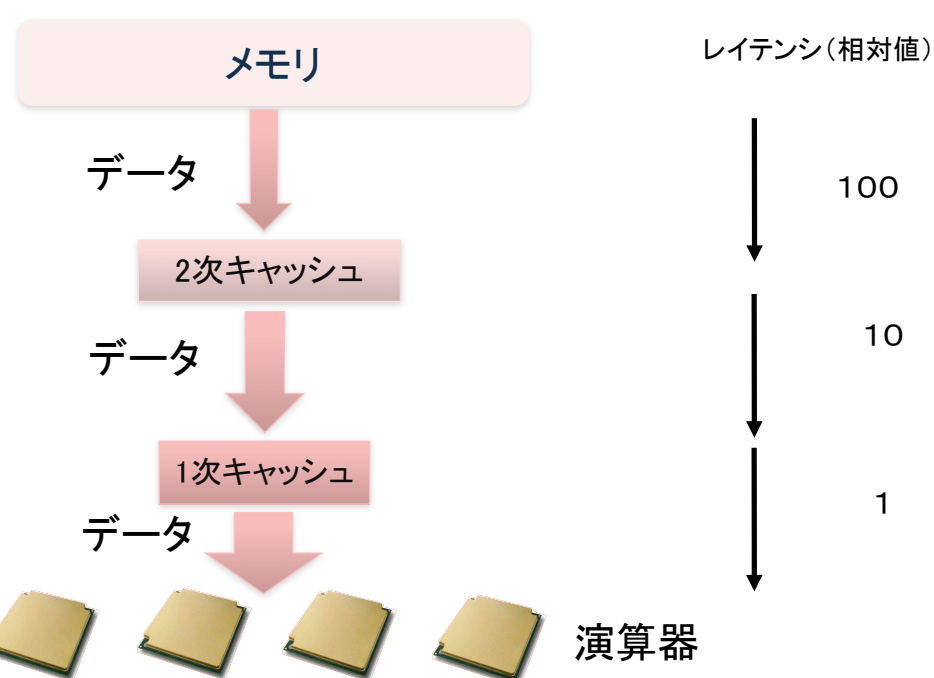
CPU単体性能をあげるためにには？

CPU内の複数コアでまずスレッド並列する事
は前提として

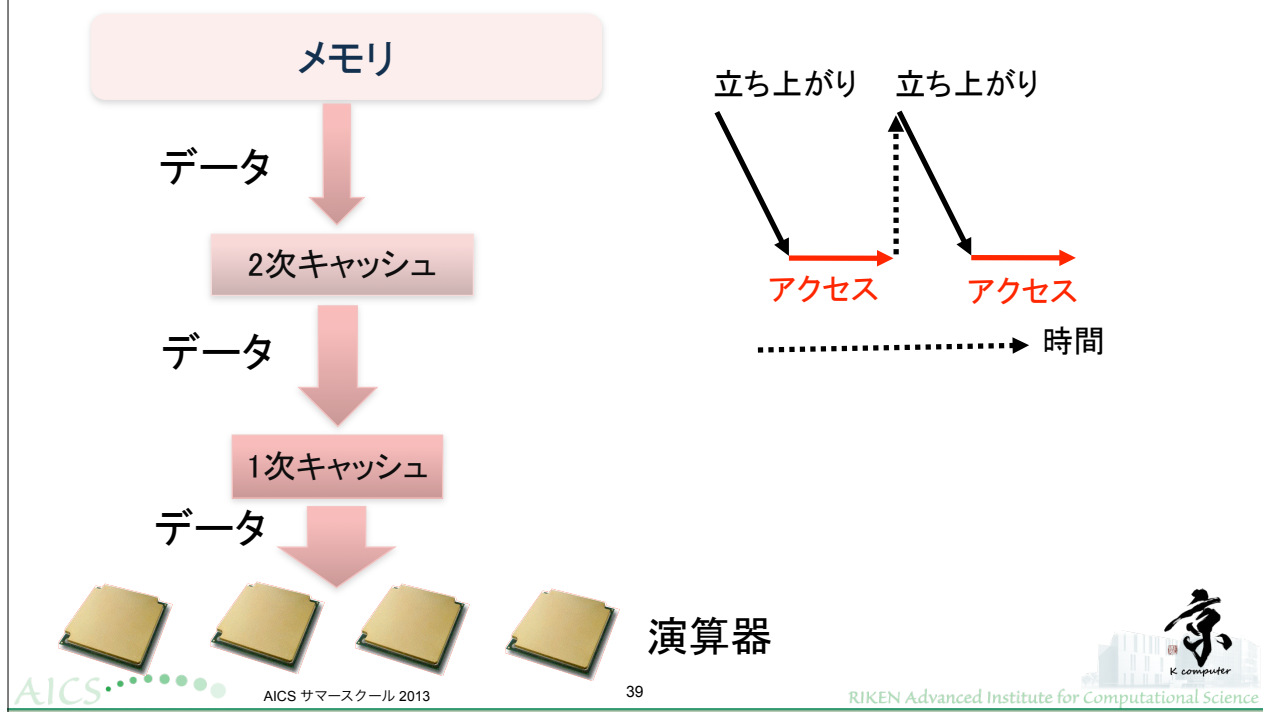
- (1) プリフェッチの有効利用
- (2) ラインアクセスの有効利用
- (3) キャッシュの有効利用
- (4) 効率の良い命令スケジューリング
- (5) 演算器の有効利用



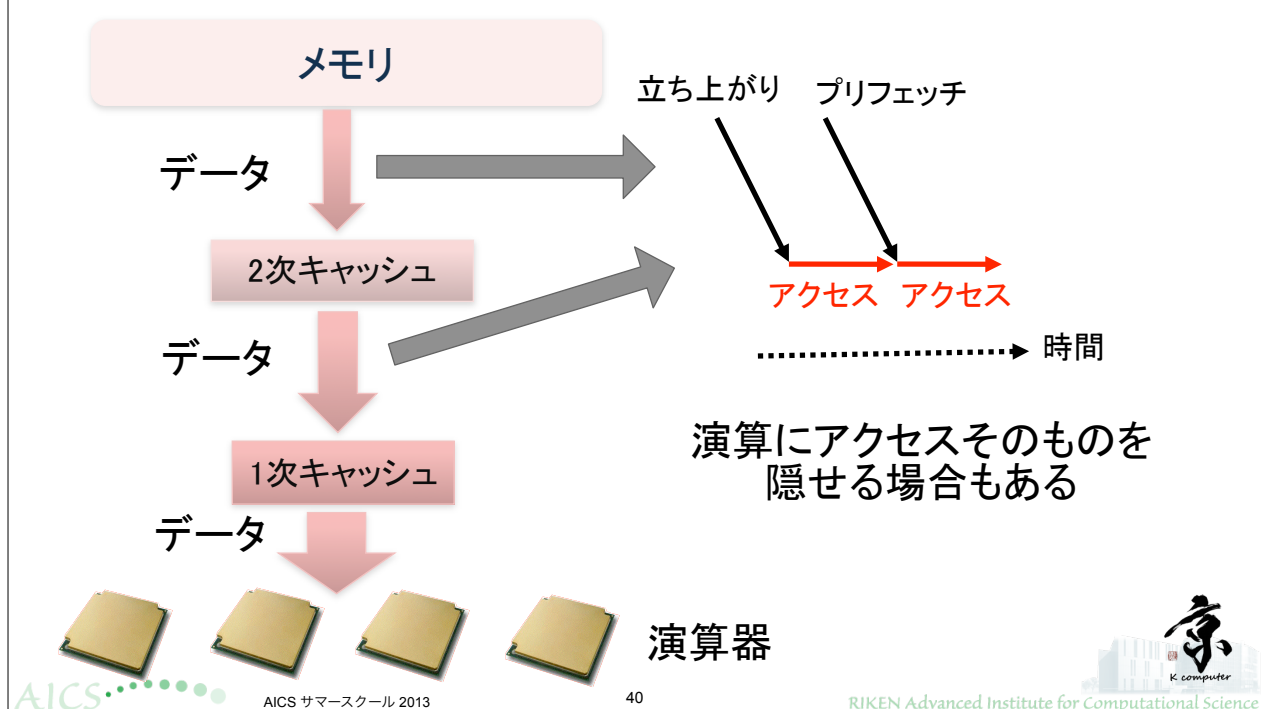
レイテンシ(アクセスの立ち上がり)



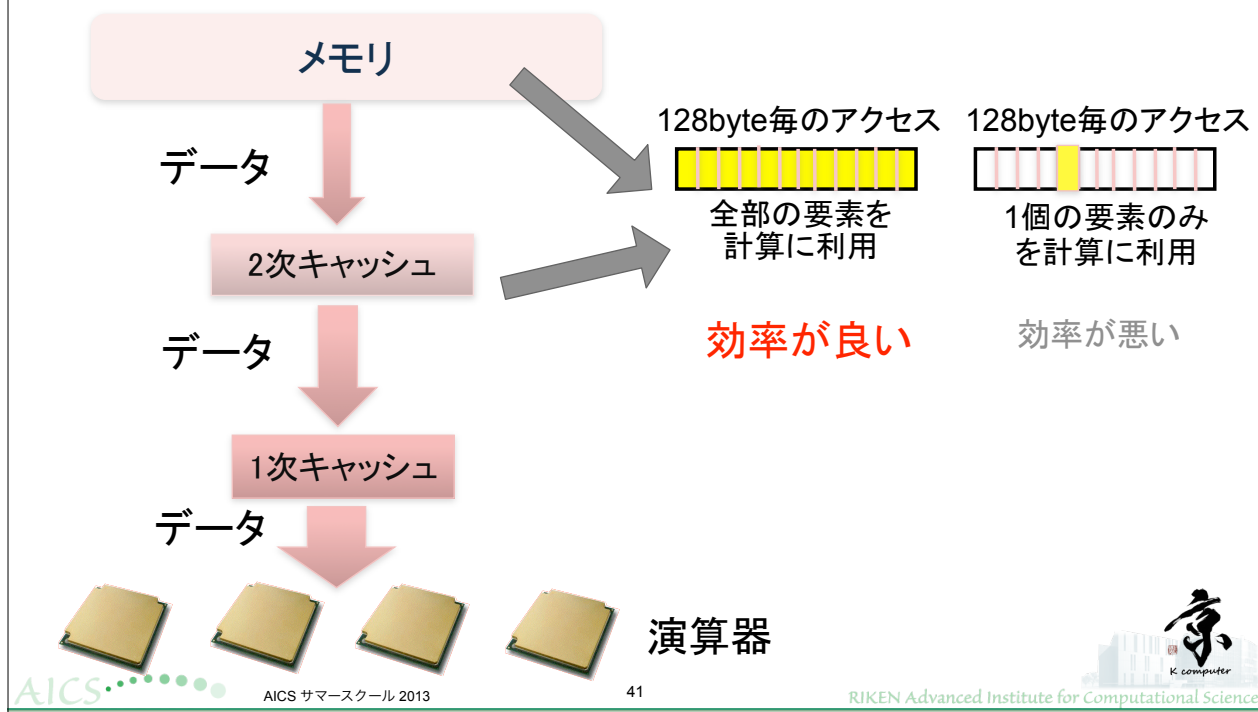
レイテンシ(アクセスの立ち上がり)



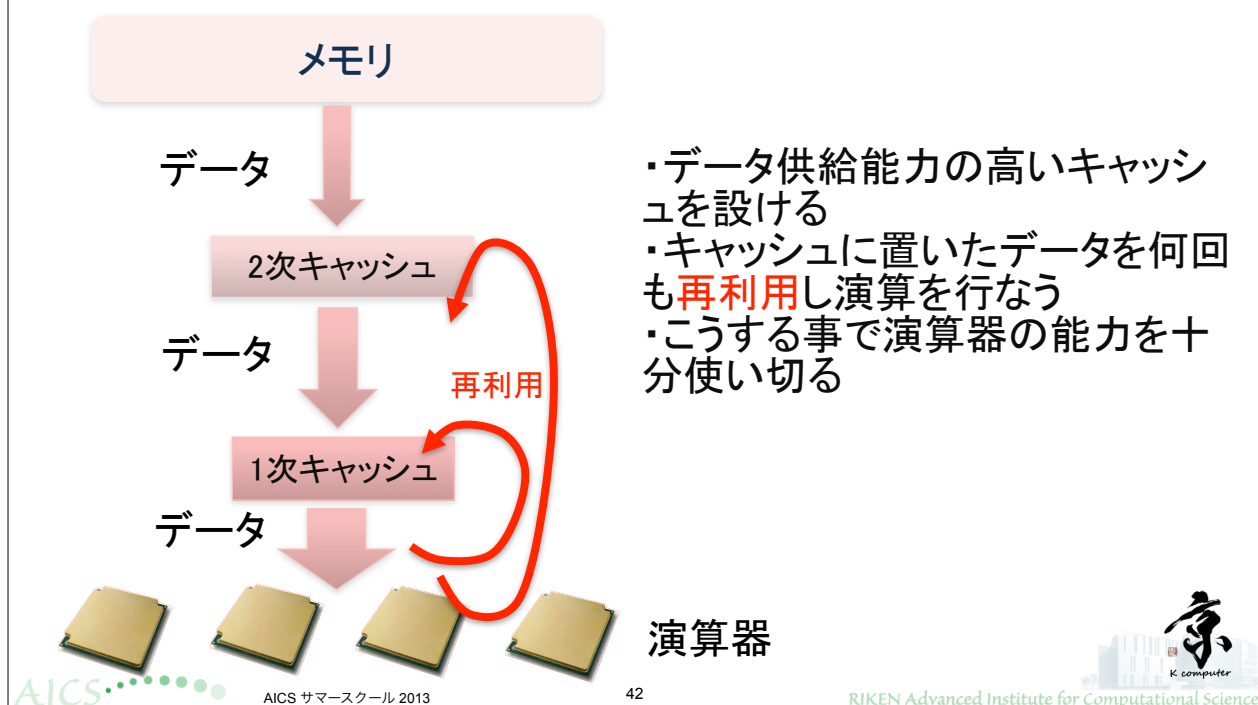
(1) プリフェッチの有効利用



(2) ラインアクセスの有効利用

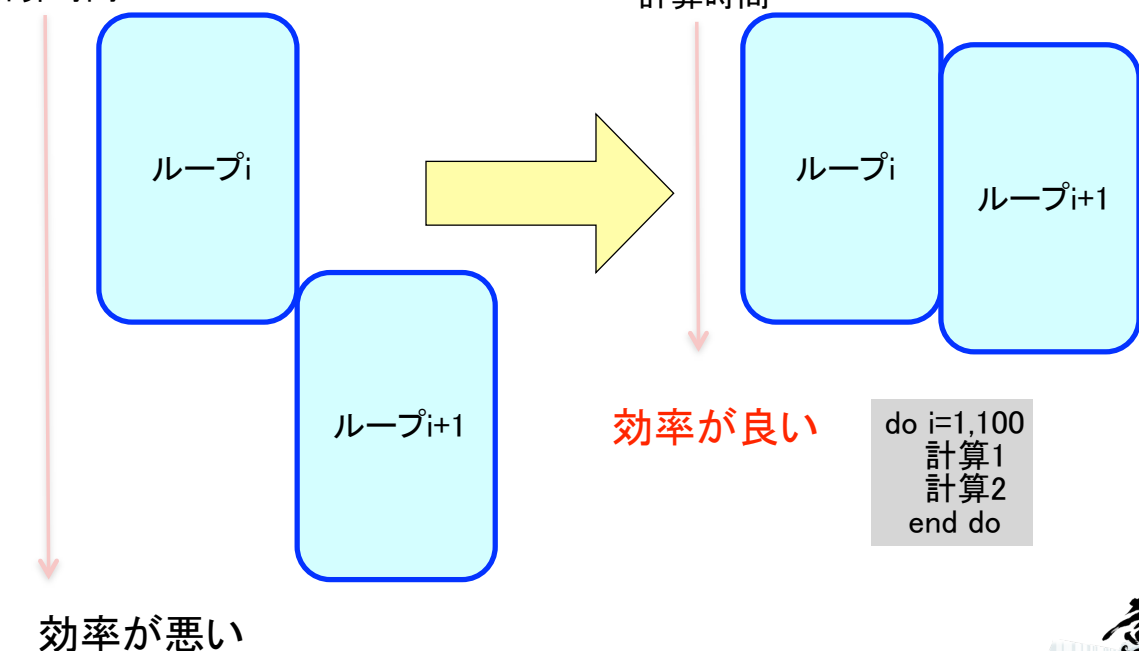


(3) キャッシュの有効利用



(4)効率の良い命令スケジューリング

計算時間



計算時間

do i=1,100
 計算1
 計算2
end do



(5)演算器の有効利用

乗算と加算を4個同時に計算可能

$$(1 + 1) \times 4 = 8$$

この条件に
近い程高効率

1コアのピーク性能: 8演算×2GHz = 16G演算/秒



要求B/F値と性能の関係



高い性能を得るために要素と 要求B/F値の関係

要求するB/Fが小さいアプリケーションについて

- ・原理的にキャッシュの有効利用が可能
- ・まずデータをオンキャッシュにするコーディング:(3)が重要

- ・つぎに2次キャッシュのライン上のデータを有効に利用するコーディング:(2)が重要
- ・それが実現できた上で(4)(5)が重要

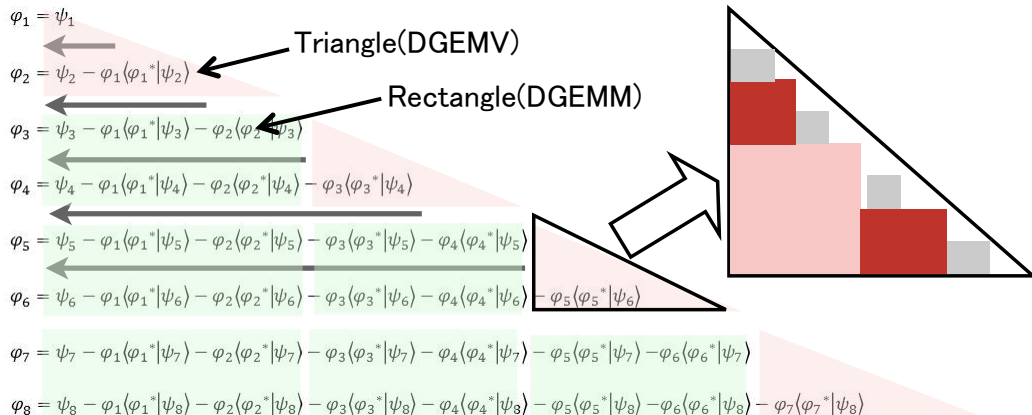
キャッシュブロック:
 n 個のデータをキャッシュに置いてデータの使い回しにより n の2乗回の計算をする



計算コアの行列積化 – RSDFT Gram-Schmidt –

行列ベクトル積を行列・行列積に変換

再帰分割法



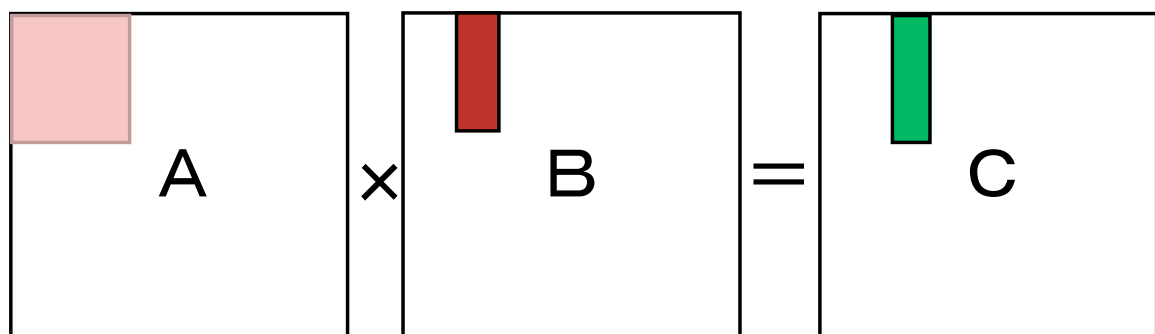
- 依存関係のある部分とない部分にブロック化して計算
- 再帰的にブロック化することで四角部を多く確保



DGEMMの性能

- 実行効率: 96.6%
- セクタキヤッシュの効果: 12%程度の性能向上

行列積($C=AB$) 行列をブロックに分け、L1D、L2キヤッシュにのせる



高い性能を得るための要素と 要求B/F値の関係

要求するB/Fが**大きい**アプリケーションについて

- ・メモリバンド幅を使い切る事が大事
- ・一番重要なのは(1)(2)
- ・次にできるだけオンキャッシュする(3)が重要
- ・これら(1)(2)(3)が満たされ計算に必要なデータが演算器に供給された状態で、それらのデータを十分使える程度に(4)のスケジューリングができる、さらに(5)の演算器が有効に活用できる状態である事が必要



Seism3D, FFB

- ◆ Seism3DとFFBは基本的に疎行列とベクトルの積であるので、その観点で議論する

疎行列とベクトルの積の問題点

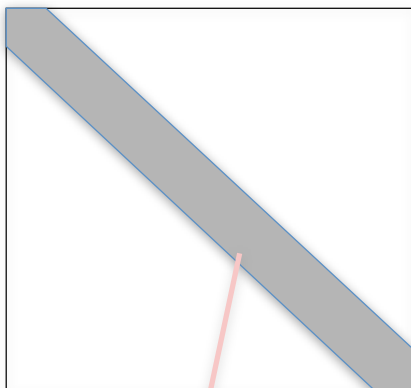
- ◆ CPU単体性能チューニングにおいては、対象とするコーディングの限界性能値が分からぬ
- ◆ 要求B/F値が高いコーディングに対するスカラチューニング

ここでの議論の狙い

- ◆ どの段階までチューニング作業を進めるかの判断基準を設ける事を目的に疎行列とベクトルの積のコーディングから性能を予測する手法を提案
- ◆ Seism3D及びFFBを対象に「京」において更なる性能向上のための具体的なチューニング手法を提案



疎行列とベクトルの積の特徴

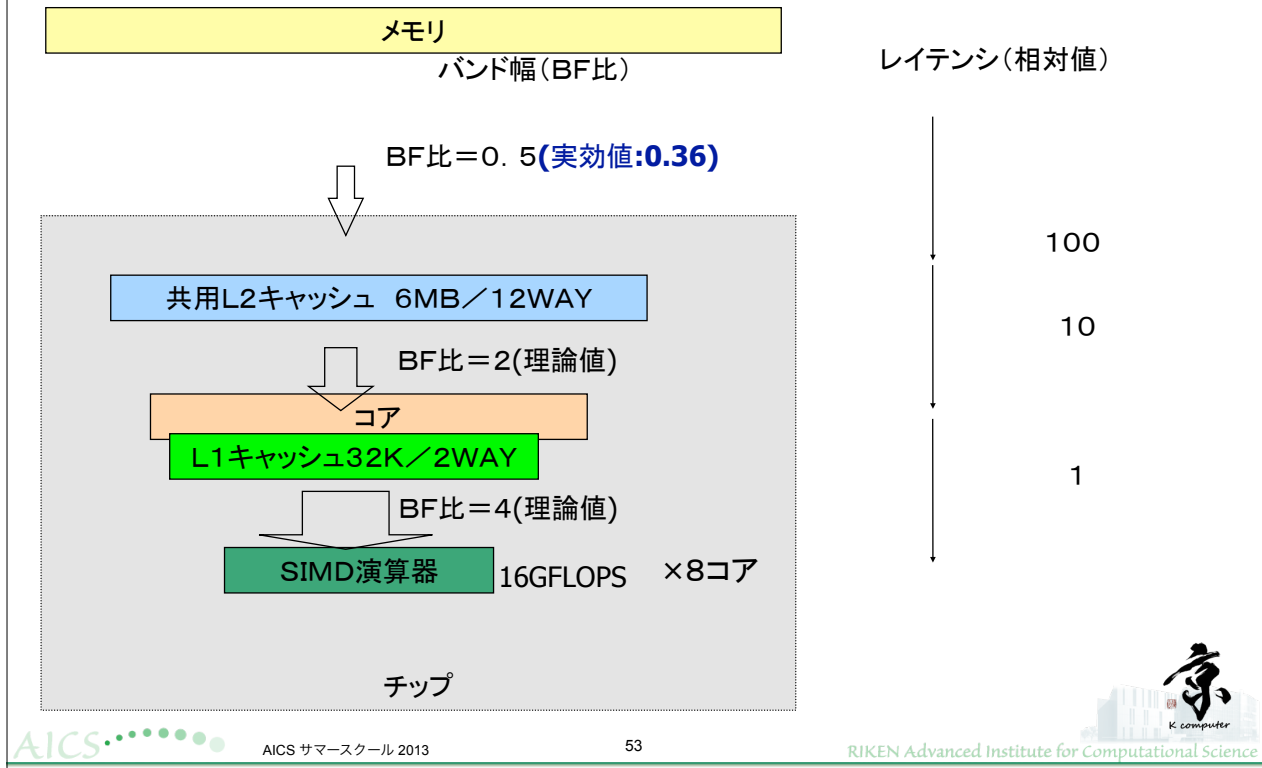


- ベクトルは一般的に3次元配列である
- しかしコーディング的には1次元や2次元配列で表現されている場合もある
- ベクトルは行列の列幅程度の再利用性がある
- したがって量的には行列の列幅分の1程度の大きさである
- メモリバンド幅を消費するが再利用性を生かせるかが重要
- 一次元の量としてリストアクセスする場合がある
- その場合はリストは行列と同じ量が必要となりメモリバンド幅を消費する

- 行列は一般的に3次元の配列である
- しかしコーディング的には1次元や2次元配列で表現されている場合もある
- ただ量的には大きいのでメモリバンド幅を消費する場合が一般的
- しかし物理的に2次元の量である場合やスカラー量である場合がある

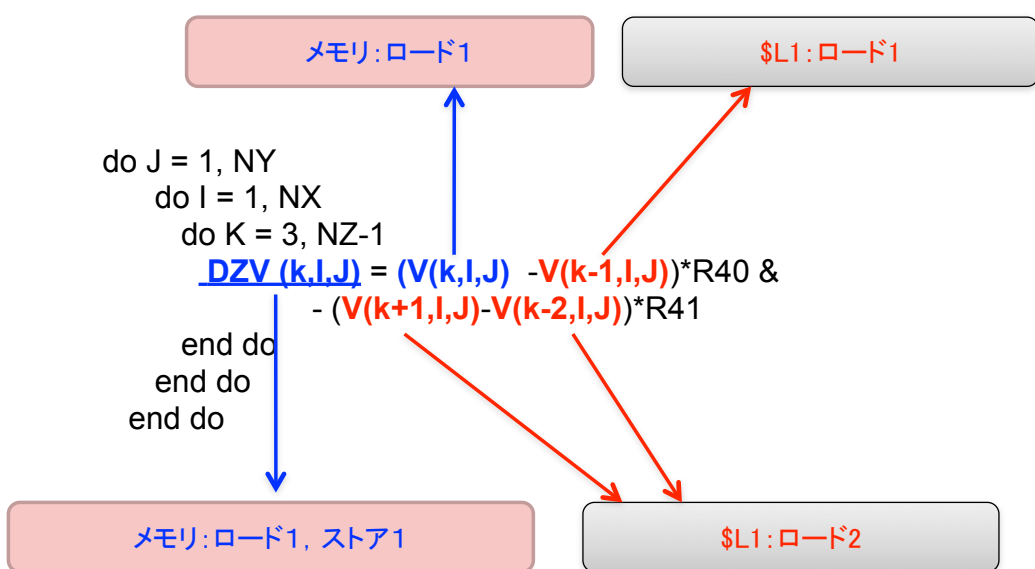
性能予測手法

ベースとなる性能値



メモリとキャッシュアクセス(1)

```
do J = 1, NY
do I = 1, NX
do K = 3, NZ-1
  DZV (k,I,J) = (V(k,I,J) - V(k-1,I,J))*R40 &
  - (V(k+1,I,J)-V(k-2,I,J))*R41
end do
end do
end do
```

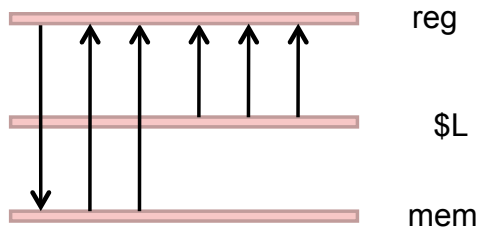


メモリとキャッシュアクセス(2)

```

do J = 1, NY
  do I = 1, NX
    do K = 3, NZ-1
      DZV (k,I,J) = (V(k,I,J) -V(k-1,I,J))*R40 &
                    - (V(k+1,I,J)-V(k-2,I,J))*R41
    end do
  end do
end do

```



	Store	Load	バンド幅比 (\$L1)	データ移動時間の 比(L1)	バンド幅比 (\$L2)	データ移動時間の 比(L2)
\$L	1	5	11.1 (8*64G/s)	0.5 = 6/11.1	5.6 (256G/s)	1.1 = 6/5.6
M	1	2	1(46G/s)	3=3/1	1 (46G/s)	3=3/1

データ移動時間の比を見るとメモリで律速される
→ メモリアクセス変数のみで考慮すれば良い。



性能見積り

```

do J = 1, NY
  do I = 1, NX
    do K = 3, NZ-1
      DZV (k,I,J) = (V(k,I,J) -V(k-1,I,J))*R40 &
                    - (V(k+1,I,J)-V(k-2,I,J))*R41
    end do
  end do
end do

```

- 最内軸(K軸)が差分
- 1ストリームでその他の3配列は\$L1に載つており再利用できる。

要求Byteの算出:

1store,2loadと考える

$$4 \times 3 = 12 \text{ byte}$$

要求flop:

$$\text{add : 3 mult : 2 = 5}$$

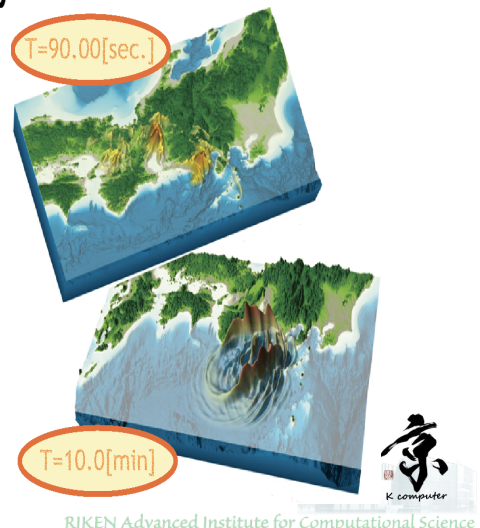
要求B/F	12/5 = 2.4
性能予測	0.36/2.4 = 0.15
実測値	0.153



Seism3D

- 有限差分法により数値的に粘弹性方程式を時間発展させる
- 地震伝播と津波を連動して解く
- 大規模な並列化に対応しているアプリケーション
- 以下の6つの計算部分より構成

- a) 応力空間微分計算
- b) 速度空間微分計算
- c) 応力時間積分計算
- d) 応力時間積分吸収計算
- e) 速度時間積分計算
- f) 速度時間積分吸収計算



Seism3Dのチューニング

空間微分Z方向の計算a)b)(1次元目の差分)

```

do J = 1, NY
  do I = 1, NX
    do K = 3, NZ-1
      DZV (k,I,J) = (V(k,I,J) - V(k-1,I,J))*R40 &
        - (V(k+1,I,J)-V(k-2,I,J))*R41
    end do
  end do
end do

```

- 最内軸(K軸)が差分
- 1ストリームでその他の3配列は\$L1に載つており再利用できる。

要求B/F	12/5 = 2.4
性能予測	0.36/2.4 = 0.15
実測値	0.153

要求Byteの算出:

1store,2loadと考える

$$4 \times 3 = 12\text{byte}$$

要求flop:

$$\text{add : 3 mult : 2} = 5$$



空間微分X方向の計算a)b)(2次元目の差分)

```

do J = 1, NY
  do I = 1, NX
    do K = 1, NZ
      DXV (k,I,J) = (V(k,I,J) - V(k,I-1,J))*R40 &
        - (V(k,I+1,J)-V(k,I-2,J))*R41
    end do
  end do
end do

```

- 第2軸(I軸)が差分
- 1ストリームでその他の3配列は \$L1 or \$L2 に載つており再利用できる
- 従って1次元目が差分のパターンと同じ性能になる

要求Byteの算出:

P12より、メモリコストだけを考慮する。

1sore,2loadと考える

$$4 \times 3 = 12\text{byte}$$

要求flop:

$$\text{add : 3 mult : 2} = 5$$

要求B/F	12/5 = 2.4
性能予測	0.36/2.4 = 0.15
実測値	0.135

- 実測値が13.5%と少し低い
- 実測したメモリバンド幅は42.9GB/sec
- この値で性能予測をすると14.0%となる

- 14.0%に比較すれば13.5%は良い値
- ループ長やコンパイラのバージョンによりプリフェッч命令の利き方に差が出るためこれ以上は追求しない



空間微分Y方向の計算a)b)(3次元目の差分)

```

do J = 1, NY
  do I = 1, NX
    do K = 1, NZ
      DYV (k,I,J) = (V(k,I,J) - V(k,I,J-1))*R40 &
        - (V(k,I,J+1)-V(k,I,J-2))*R41
    end do
  end do
end do

```

- 第3軸が差分 → 再利用性なし

要求flop:

$$\text{add : } 3 \text{ mult : } 2 = 5$$

要求B/F	24/5 = 4.8
性能予測	0.36/4.8 = 0.075
実測値	0.076

要求Byteの算出:

1store/5loadより

$$(5+1) * 4\text{byte} = 24$$



空間微分Z方向の計算a)b)(ZXループ融合)

要求B/F値を下げる

```

do J = 1, NY
  do I = 1, NX
    do K = 3, NZ-1
      DZV (k,I,J) = (V(k,I,J) - V(k-1,I,J))*R42 &
        - (V(k+1,I,J)-V(k-2,I,J))*R43
      DXV (k,I,J) = (V(k,I,J) - V(k,I-1,J))*R40&
        - (V(k,I+1,J)-V(k,I-2,J))*R41
    end do
  end do
end do

```

- K,I軸差分のループを融合することにより、V(K,I,J)のロードを共通化でき、プログラムの要求B/F値を下げる。

要求Byteの算出:

2store,3loadより、

$$(2+3)*4 = 20$$

要求flop:

$$\text{add : } 6 \text{ mult : } 4 = 10$$

要求B/F	20/10 = 2
性能予測	0.36/2 = 0.18
実測値	0.174



空間微分Y方向の計算a)b) (3次元目をcyclicでスレッド並列化)

```

!$OMP DO SCHEDULE(static,1),PRIVATE(I,J,K)
do J = 1, NY
    do I = 1, NX
        do K = 1, NZ
            DYV (k,I,J) = (V(k,I,J) - V(k,I,J-1))*R40 &
                - (V(k,I,J+1)-V(k,I,J-2))*R41
        end do
    end do
end do

```

キャッシュに載せる

- 第3軸をcyclic分割 → 1ストリームで3配列がL2に乗る(説明次項)
- 性能が2倍になる

要求B/F	12/5 = 2.4
性能予測	0.36/2.4 = 0.15
実測値	0.136

要求Byteの算出:

1sore,2loadと考える

$$4 \times 3 = 12\text{byte}$$

要求flop:

$$\text{add : 3 mult : 2} = 5$$



(cyclic分割スレッド並列の説明)

プログラム例

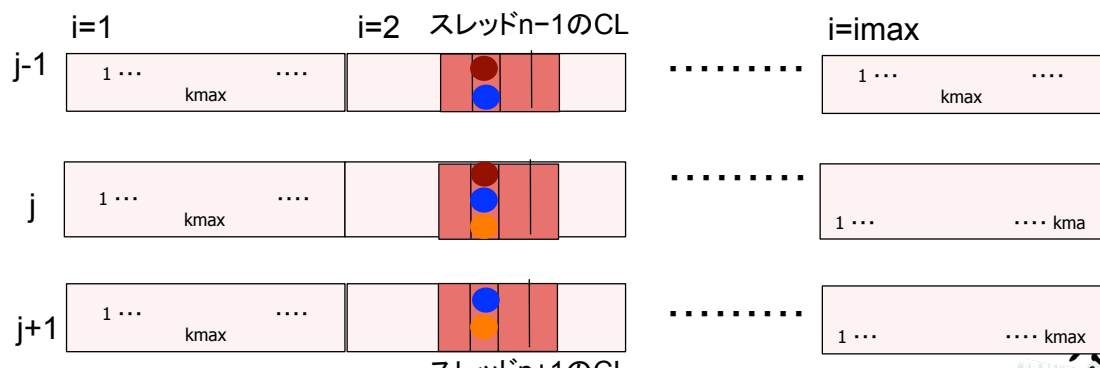
```

Do j=1,jmax
    do i=1,imax
        do k=1,kmax
            a(k,i,j)=...c0*v(k,i,j-1)+c1* v(k,i,j)+c2* v(k,i,j+1)...
        end do
    end do
end do

```

● : スレッドn-1で参照するデータ
 ● : スレッドnで参照するデータ
 ● : スレッドn+1で参照するデータ

キャッシュライン(CL)



空間微分Y方向の計算a)b) (ZX Yループ融合cyclicスレッド並列)

```

!$OMP DO SCHEDULE(static,1)
do J = 1, NY
do I = 1, NX
do K = 3, NZ-1
  DZV (k,I,J) = (V(k,I,J) -V(k-1,I,J))*R42 &
    - (V(k+1,I,J)-V(k-2,I,J))*R43
  DXV (k,I,J) = (V(k,I,J) -V(k,I-1,J))*R40&
    - (V(k,I+1,J)-V(k,I-2,J))*R41
  DYV (k,I,J) = (V(k,I,J) -V(k,I,J-1))*R40 &
    - (V(k,I,J+1)-V(k,I,J-2))*R41
end do
end do
end do

```

要求B/F値を下げる
キャッシュに載せる

- K,I,J軸差分のループを融合することにより、V(K,I,J)のロードを共通化でき、プログラムの要求B/F比を下げる。

要求Byteの算出:

Store 3 +4 load と考えると、

$$(3+4)*4 = 28\text{byte}$$

要求flop:

$$\text{add : 9 mult : 6 = 15}$$



要求B/F	28/15 = 1.86
性能予測	0.36/1.86 = 0.19
実測値	0.177

速度時間積分の計算 e)

オリジナルコードの結果

要求B/F	72/52=1.38
性能予測	0.36/1.38 = 0.26
実測値	0.240



Seism3D全体のチューニング結果

(*)通信を含む性能

The number of node	Elapse time(sec)	Ratio to peak performance
16	48.8	17.1%
256	48.8	17.6%
4096	48.9	17.7%
16384	48.8	17.8%
36864	48.6	17.9%
64512	48.5	17.9%
82944	48.5	17.9%

- 8万ノードまでの良好なワーカスケーラビリティを得られた
- フルノードでトータル性能**1.9Pflops**を達成



Front Flow/blueの チューニング



Front Flow/blue(FFB)の概要

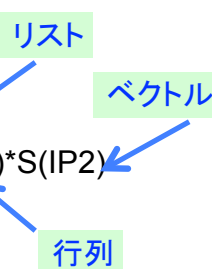
- 有限要素法を用いた流体計算のプログラム
- 有限要素法には2つのタイプの計算方法がある
 - 全体剛性マトリクスを構築するタイプ
 - 全体構成マトリクスを構築せずに要素剛性マトリクスのみで計算を進めるタイプ(エレメント・バイ・エレメント法)
- FFBは新バージョンにおいて両方のソルバに対応
- 本講演の疎行列とベクトルの積は前者のソルバで使用される計算カーネル



オリジナルコードの性能予測(理想的なケース)

オリジナルコード

```
ICRS=0
DO 110 IP=1,NP
    BUF=0.0E0
    DO 100 K=1,NPP(IP)
        ICRS=ICRS+1
        IP2=IPCRS(ICRS)
        BUF=BUF+A(ICRS)*S(IP2)
    100 CONTINUE
    AS(IP)=AS(IP)+BUF
110 CONTINUE
```



- ベクトルの部分がL1キャッシュに載っていると仮定した場合
- ベクトルのメモリへのアクセスを全く無視してよい
- メモリからのロードは行列とリストのみ

要求Byteの算出:

単精度 : 2 load なので

$$2*4 = 8\text{byte}$$

要求flop:

$$\text{add : 1 mult : 1} = 2$$

要求B/F	8/2 = 4
-------	---------

性能予測 $0.36/4 = 0.09$

(スレッド並列を仮定しピーク性能128Gflopsに対して)



オリジナルコードの性能予測と実測 (スレッド並列なし：1コア)

- メモリバンド幅を1コアで占有する場合のSTREAMベンチマークの結果は20GB/秒
- 1コアの理論ピーク性能は16GFLOPS
- 従って理論的なB/F値は20GB/16GFLOPで1.25

要求Byteの算出：2loadより $2^* 4\text{byte} = 8$
要求flop：1(add)+1(mult) = 2

要求B/F	8/2 = 4
性能予測	$1.25/4 = 0.313$
実測値	0.059(六面体) 0.024(四面体)

- ベクトルがリストアクセス
- 連続アクセスでないためプリフェッチが効きにくい
- メモリアクセスのレイテンシが見える
- 1ラインのうち1要素しか使用しない事による大きなペナルティが発生
- 著しい性能低下が発生
- L2オンキャッシュでも同様のペナルティが発生

(スレッド並列なしピーク性能16Gflopsに対して)



チューニング1: フルアンロー ル

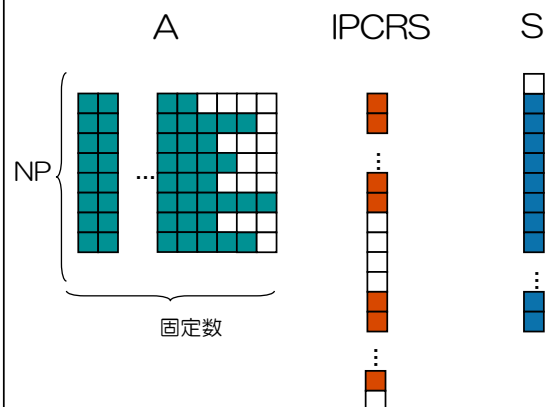
狙い：

- スケジューリングの改善(演算待ちの削減)

変更点:

- 行列要素の配列に0を代入
- ベクトルインデックスの配列に0を代入
- 余分な配列同士は $0*0$ の演算を実施

```
ICRS=0
DO 110 IP=1,NP
  BUF=0.0E0
!  DO 100 K=1,NPP(IP) MAX_NZ=27
    BUF=BUF+A(ICRS+ 1)*S(IPCRS(ICRS+ 1))
    & +A(ICRS+ 2)*S(IPCRS(ICRS+ 2))
    & +A(ICRS+ 3)*S(IPCRS(ICRS+ 3))
    & +A(ICRS+ 4)*S(IPCRS(ICRS+ 4))
    .....
    .....
    .....
    & +A(ICRS+24)*S(IPCRS(ICRS+24))
    & +A(ICRS+25)*S(IPCRS(ICRS+25))
    & +A(ICRS+26)*S(IPCRS(ICRS+26))
    & +A(ICRS+27)*S(IPCRS(ICRS+27))
    ICRS=ICRS+27
! 100   CONTINUE
    AS(IP)=AS(IP)+BUF
  110 CONTINUE
```



チューニング2: リオーダリング (1/4)

狙い:

- ベクトルデータ(S)のブロック化によるL1,L2キャッシュミスの削減

オリジナルデータの特徴:

- 6面体(総回転数: 約2700万)

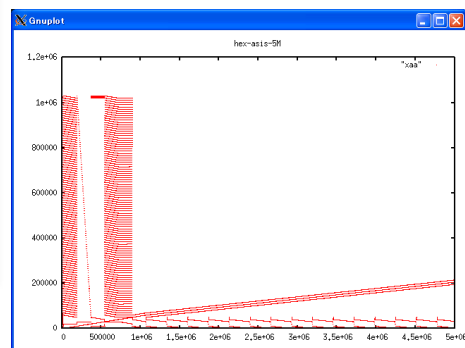
- 最初の1M回のSへの広範囲なランダムアクセス

- それ以降は二極化するが、局所的アクセス

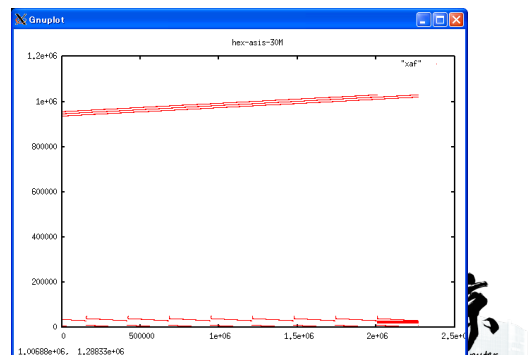
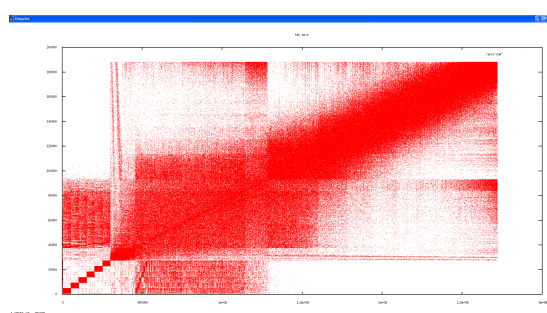
- 4面体(総回転数: 約270万)

- 全アクセスとも、広範囲なランダムアクセス

■ 6面体 オリジナルデータ



■ 4面体 オリジナルデータ

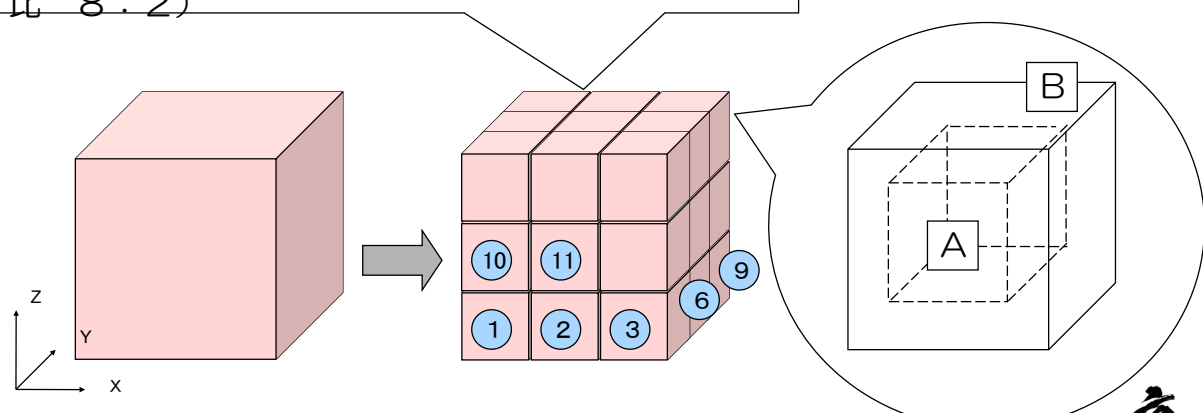


チューニング2: リオーダリング (2/4)

節点番号のリオーダリング:

- オリジナルデータを各軸分割しブロックを作成
- 各ブロックを外と内に分割し物理座標に基づき内側・外側の順にナンバリング

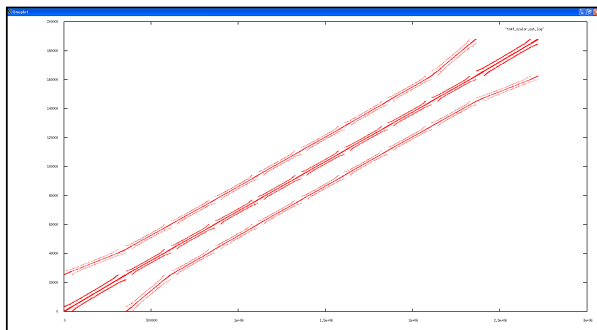
ひとつのブロックを内と外に分け、内側(A)のナンバリング後、外側(B)のナンバリングを実施(内:外の比 8 : 2)



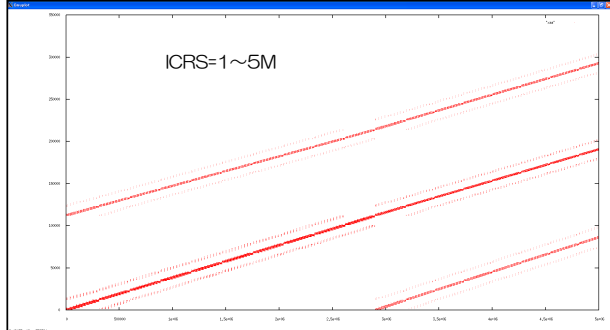
チューニング2: リオーダリング (3/4)

- 物理的に近い節点が配列の並びとしても近い位置に配置される事を期待
- 一要素を構成する節点の番号が近くなる
- 一箱の大きさを調整することによりベクトルのリストアクセスの多くに対しL1オンキャッシュのデータを利用できる

■ 4面体 リオーダリング結果

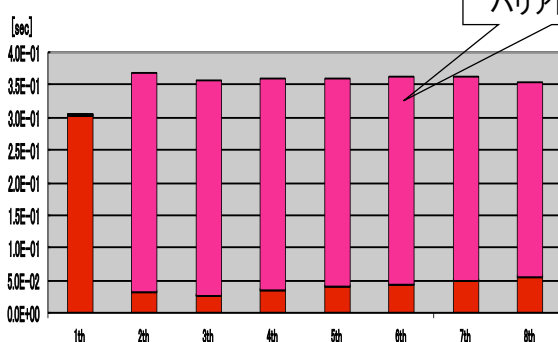


■ 6面体 リオーダリング結果



チューニング2: リオーダリング (4/4)

バリア同期待ち

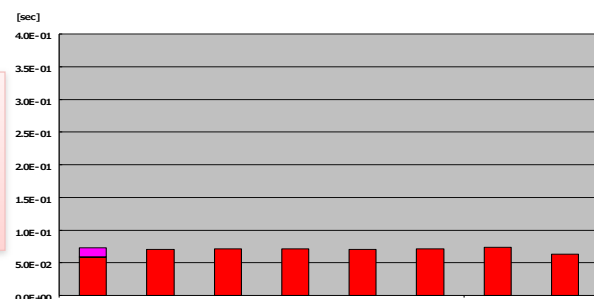


リオーダリング前

- マスタースレッドが担当する範囲にランダムアクセスが集中しメモリアクセスコストが増大
- スレーブスレッドが担当する範囲は局所アクセスが多く結果としてバリア同期待ちのコストが支配的

リオーダリング後

- 全てのスレッドが均一的に局所アクセス化
- メモリアクセスバランスの改善と同期コストの大幅な削減



FFBカーネルの結果まとめ

	6面体	4面体
オリジナル(1core)	5. 9%	2. 4%
フルアンロール (1core)	10. 8%	4. 2%
フルアンロール (8core)	5. 4%	3. 0%
フルアンロール + リオーダリング (1core)	10. 2%	10. 2%
フルアンロール + リオーダリング (8core)	8. 1%	7. 7%

L1 オンキヤッシュである時の理論性能値である9%に近い性能値を実現



まとめ

- 「京」の概要を示した
- 理研で進めているアプリ高性能化の概要を示した
- 高並列化のための重要な点を示した
- 高い単体性能を得るために重要な点を示した
- RSDFT, PHASE, Seism3D, FFB等を例として高並列化, チューニング手法を示した。

